



OFICINA ESPAÑOLA DE PATENTES Y MARCAS

ESPAÑA



①Número de publicación: 2 796 749

51 Int. Cl.:

C12N 15/77 (2006.01) C12N 15/61 (2006.01) C12P 19/02 (2006.01) C12R 1/15 (2006.01) C12N 9/90 (2006.01) C12N 11/00 (2006.01)

(12)

## TRADUCCIÓN DE PATENTE EUROPEA

**T3** 

- (86) Fecha de presentación y número de la solicitud internacional: 30.10.2015 PCT/KR2015/011595
- (87) Fecha y número de publicación internacional: 06.05.2016 WO16068656
- 96 Fecha de presentación y número de la solicitud europea: 30.10.2015 E 15853745 (6)
- (97) Fecha y número de publicación de la concesión europea: 01.04.2020 EP 3214176
  - 54 Título: Sistema de expresión de psicosa epimerasa y producción de psicosa que utiliza la misma
  - (30) Prioridad:

30.10.2014 KR 20140149019 22.05.2015 KR 20150072090

(45) Fecha de publicación y mención en BOPI de la traducción de la patente: 30.11.2020

(73) Titular/es:

SAMYANG CORPORATION (100.0%) 31, Jong-ro 33-gil, Jongno-gu Seoul 03129, KR

(72) Inventor/es:

HEO, JIN SOL; KIM, HYE JUNG; KIM, MIN JEONG; CHOI, JEONG YOON; PARK, CHONG JIN Y LEE, KANG PYO

(74) Agente/Representante:

CURELL SUÑOL, S.L.P.

#### **DESCRIPCIÓN**

Sistema de expresión de psicosa epimerasa y producción de psicosa que utiliza la misma

#### 5 Campo técnico

10

15

20

25

30

35

40

45

50

55

60

65

La presente invención se refiere a un sistema de expresión que es capaz de producir psicosa epimerasa que presenta una velocidad de conversión y estabilidad elevadas; que se reconoce generalmente como microorganismo seguro (GRAS) que incluye el sistema de expresión, y un método de producción de psicosa mediante la utilización del microorganismo y el enzima.

#### Antecedentes de la técnica

Se producen diversos compuestos biosintéticos en el proceso metabólico natural y se utilizan en diferentes campos industriales, tales como el alimentario, de alimentación animal, el cosmético y el farmacéutico. Los compuestos se producen mediante la utilización de una bacteria u otro microorganismo desarrollado para producirlos y secretarlos a gran escala. Por ejemplo, se han utilizado especies de *Corynebacterium* en la industria de la producción de aminoácidos. A mediados de los 1950, se utilizó *Corynebacterium glutamicum* para producir ácido glutámico eficientemente y un mutante auxotrófico de *Corynebacterium glutamicum* para producir diversos aminoácidos mediante la utilización de la fermentación.

La expresión de diversos genes relacionados puede regularse con precisión para la ingeniería celular, requiriendo por lo tanto un sistema de expresión eficiente. Se conocen en la técnica diferentes componentes de una secuencia reguladora celular. Son ejemplos de los componentes, una región de unión al operador, una región de unión a ARN polimerasa de las regiones -35 y -10, y un sitio de unión de ribosoma o secuencia de Shine-Dalgarno en el ARN 16S ribosómico.

La selección del promotor para el desarrollo del sistema de expresión es importante, ya que el promotor participa en gran medida en el nivel de expresión génica y la regulación de la expresión. Se ha informado de varios promotores aplicables a *Corynebacterium glutamicum* y derivan de *Corynebacterium* sp. o de *E. coli* (J. Biotechnol., 104:311-323, 2003).

Sin embargo, el promotor derivado de *E. coli* presenta una baja permeabilidad como inductor de la expresión y la ausencia de inhibidor de la expresión génica, por lo que muestra una actividad baja respecto a la de *Corynebacterium*. Aunque se utilicen los mismos promotores, sus actividades serán diferentes según la secuencia de recubrimiento del gen diana. Los promotores utilizados en *Corynebacterium* resultan difíciles de preparar para el objetivo deseado, debido al estrecho intervalo de niveles de expresión de los promotores. Especialmente, al regular conjuntamente las expresiones de diversos genes, tal como en el establecimiento de una ruta metabólica, no pueden seleccionarse diversos promotores de *Corynebacterium*, al contrario que en *E. coli*.

La psicosa está centrando la atención como edulcorante dietético, aunque se requiere su producción a gran escala para la aplicación a alimentos debido a que es un azúcar raro en la naturaleza. En la técnica anterior, la psicosa se ha producido en gran medida mediante un método de síntesis química. Como método enzimático, el documento nº KR10-0744479 da a conocer la producción en masa de psicosa mediante la utilización de la psicosa epimerasa producida por *E. coli* transformado con el gen codificante de la psicosa epimerasa derivada de *Agrobacterium tumefaciens*. Existe un método para producir psicosa mediante la utilización de un microorganismo productor de enzima sin purificación a un coste de producción bajo. En la exposición nº KR10-1106253, *E. coli* recombinante transformado con el gen codificante de psicosa-3-epimerasa derivada de *Agrobacterium tumefaciens* y que incluye un gen específico inactivado, se inocula en un medio de cultivo que incluye fructosa a fin de convertir la fructosa en psicosa.

El *E. coli* recombinante utilizado en el documento nº KR10-1106253 no es un microorganismo GRAS (generalmente reconocido como seguro) y, de esta manera, no puede resultar adecuado para la industria alimentaria. Además, la psicosa epimerasa derivada de *Agrobacterium tumefaciens* presenta una baja actividad enzimática y una baja estabilidad térmica.

El documento nº KR14-0021974 da a conocer un casete de expresión génica, productor de una psicosa epimerasa en *Corynebacterium* sp., y que comprende una secuencia de nucleótidos codificante de la psicosa epimerasa, y una secuencia reguladora que está operablemente conectada con la secuencia de nucleótidos en dirección 5' y que regula la expresión de la secuencia de nucleótidos en *Corynebacterium* sp., en el que la secuencia reguladora comprende un promotor (por ejemplo, un promotor Trc).

Sigue existiendo una necesidad de desarrollar un sistema de expresión capaz de producir la psicosa epimerasa con una actividad enzimática elevada en un microorganismo GRAS con un alto rendimiento y en un sistema de expresión estable, un método de producción de psicosa epimerasa que utiliza el sistema de expresión y un método de producción de psicosa mediante la utilización del enzima o microorganismo GRAS transformado.

## Divulgación

### Problema técnico

5

10

Una forma de realización proporciona un casete de expresión que incluye una secuencia de nucleótidos codificante de la psicosa epimerasa y una secuencia reguladora que está operablemente conectada con la secuencia de nucleótidos en dirección 5' y que regula la expresión de la secuencia de nucleótidos en *Corynebacterium* sp., en el que la secuencia reguladora comprende un promotor, incluyendo una secuencia de nucleótidos SEC ID nº 1, una secuencia de primer sitio de unión de ribosoma (RBS) que incluye una secuencia de nucleótidos SEC ID nº 2, y un primer espaciador que se selecciona del grupo que consiste en las secuencias de nucleótidos SEC ID nº 4 a SEC ID nº 6.

15

Otra forma de realización proporciona un vector que se utiliza en *Corynebacterium* sp., que incluye el casete de expresión génica.

20

Una forma de realización adicional proporciona una célula *Corynebacterium* sp. que expresa la psicosa epimerasa, incluyendo el casete de expresión génica o transformada con el vector que comprende el casete de expresión génica.

\_(

Una forma de realización todavía adicional proporciona la utilización de una composición para la producción de una psicosa epimerasa y/o psicosa, que comprende por lo menos una seleccionada de entre el grupo que consiste en células de *Corynebacterium* sp. recombinantes, un cultivo celular de *Corynebacterium* sp. recombinante, un lisado de células *Corynebacterium* sp. recombinantes y un extracto de dicho cultivo celular o dicho lisado celular.

25

Todavía otra forma de realización proporciona un método de producción de psicosa, utilizando por lo menos uno seleccionado de entre el grupo que consiste en psicosa epimerasa, una célula recombinante, un cultivo de células recombinantes, un lisado de las células recombinantes y un extracto de cultivo o el lisado celular.

## 30 Solución técnica

35

La presente invención se refiere a un casete de expresión génica capaz de producir psicosa con un alto rendimiento con alta estabilidad, un microorganismo GRAS (generalmente reconocido como seguro), a un método para producir el enzima mediante la utilización del microorganismo GRAS y a un método para producir la psicosa mediante la utilización del microorganismo GRAS y el enzima.

El promotor derivado de *E. coli* muestra una actividad baja en *Corynebacterium* sp., debido a que el factor inductor de expresión presenta una baja permeabilidad y el material de expresión génica no existe en *Corynebacterium* sp. Por lo tanto, se proporciona un promotor adecuado para expresar una psicosa epimerasa en *Corynebacterium* sp.

40

Se proporciona un promotor capaz de producir psicosa con un alto rendimiento con alta estabilidad, una secuencia reguladora que incluye el promotor y un casete de expresión génica que incluye la secuencia reguladora, produciendo de esta manera psicosa epimerasa en *Corynebacterium* sp. con un alto rendimiento con elevada estabilidad y en gran cantidad. Además, se proporciona una psicosa epimerasa que puede expresarse a una tasa elevada en combinación con el promotor y una secuencia de nucleótidos codificante de la psicosa epimerasa.

45

En la presente memoria, el término "promotor", la expresión "molécula de nucleótidos con una actividad de promotor" o "secuencia de promotor" se refiere a una molécula de nucleótidos capaz de regular la transcripción o la expresión de un nucleótido de interés, que está operablemente conectada con el nucleótido de interés. El promotor puede incluir un promotor de transcripción y un promotor de expresión.

50

La secuencia de nucleótidos de interés puede unirse al promotor químicamente y puede unirse al promotor mediante la utilización de una secuencia reguladora génica adicional y/o una secuencia de nucleótidos conectora, y similares. Preferentemente, la secuencia de nucleótidos de interés que debe transcribirse puede localizarse en dirección 3' del promotor (es decir, el extremo 3' de la secuencia del promotor). El intervalo entre la secuencia de promotor y la secuencia de nucleótidos que debe transcribirse puede presentar preferentemente 200 pares de bases o menos, o más preferentemente, de 100 pb o menos.

55

En la presente memoria, la expresión "sitio de unión de ribosoma" (RBS) o "secuencia de Shine-Dalgarno" se refiere a una región de secuencia polinucleótida rica en A/G a la que se une un ribosoma para la traducción.

60

En la presente memoria, la expresión "secuencia reguladora" se refiere a una molécula de nucleótidos con una actividad reguladora de la expresión génica, tal como la transcripción y/o la traducción del polinucleótido diana y que está operablemente ligada al polinucleótido diana. La secuencia reguladora puede denominarse "secuencia de nucleótidos reguladora".

A continuación en la presente memoria, la expresión "casete de expresión" incluye una secuencia reguladora que está operablemente ligada a la secuencia de nucleótidos diana, tal como una secuencia de nucleótidos codificante de la psicosa epimerasa. Por lo tanto, el casete de expresión puede incluir una secuencia de nucleótidos requerida para expresar una proteína después de la transcripción o la traducción, así como una secuencia de nucleótidos reguladora de la transcripción o la traducción.

En la presente invención, la molécula de nucleótidos es preferentemente una molécula no natural, una molécula aislada o un tipo sintético o recombinante. El término "aislado" referido a una molécula de nucleótidos puede no incluir otra molécula de nucleótidos en la fuente natural, otro material celular o cualquier componente del medio de cultivo en el caso del método de producción recombinante, u otro precursor químico u otros productos químicos en el caso del método de síntesis química.

En una forma de realización, la secuencia reguladora utilizada para *Corynebacterium* sp. puede expresar la psicosa epimerasa con una elevada estabilidad y actividad enzimática en un microorganismo GRAS con elevado rendimiento y estabilidad.

La presente invención se describe en detalle a continuación en la presente memoria.

Una forma de realización de la presente invención proporciona un casete de expresión génica, productor de una psicosa epimerasa en *Corynebacterium* sp. y que comprende una secuencia de nucleótidos codificante de la psicosa epimerasa, y una secuencia reguladora operablemente conectada con la secuencia de nucleótidos en dirección 5' y reguladora de la expresión de la secuencia de nucleótidos en *Corynebacterium* sp., en la que la secuencia reguladora comprende un promotor que incluye una secuencia de nucleótidos SEC ID nº 1, una secuencia de primer sitio de unión de ribosoma (RBS) que incluye una secuencia de nucleótidos SEC ID nº 2, y un primer espaciador que se selecciona del grupo que consiste en las secuencias de nucleótidos SEC ID nº 4 a SEC ID nº 6 (promotor-RBS1-espaciador1).

La secuencia reguladora se opera en *Corynebacterium* sp. y, de esta manera, una psicosa epimerasa con elevadas estabilidad y actividad puede expresarse en un microorganismo GRAS. La secuencia reguladora incluye una secuencia de nucleótidos codificante de la psicosa epimerasa, y un promotor que expresa la psicosa epimerasa en un microorganismo GRAS, por ejemplo *Corynebacterium* sp. o una secuencia reguladora que incluye el promotor. La secuencia reguladora puede ser una secuencia de nucleótidos no modificada o modificada que regula la expresión de la secuencia de nucleótidos codificante de la psicosa epimerasa en *Corynebacterium* sp.

35 Se muestran ejemplos de promotores en la secuencia reguladora en la tabla 1 (cabe destacar que únicamente la SEC ID nº 1 forma parte de la presente invención).

### [Tabla 1]

SEC ID nº	Secuencia de nucleótidos (5' -> 3')	nombre
1	aagcgcctcatcagcggtaaccatcacgggttcgggttcggaaaaaccatgccataa caggaatgttcctttcgaaaattgaggaagccttatgcccttcaaccctacttagctgcc aattattccgggcttgtgacccgctacccgataaataggtcggctgaaaaatttcgttgc aatatcaacaaaaaaggcctatcattgggaggtgtcgcaccaagtacttttgcgaagc gccatctgacggattttcaaaaagatgtatatgctcggtgcggaaaacctac	promotor SOD (1)
63	tgacaattaatcatcggctcgtataatgt	promotor Tac1 (1)
64	tgacaattaatcatccggctcgtataatgt	promotor Tac2 (1)
65	tgacaattaatcatcggcctcgtataatgt	promotor Trc (1)

El casete de expresión génica o la secuencia reguladora de la presente invención comprenden además por lo menos una secuencia seleccionada de entre el grupo que consiste en una secuencia de sitio de unión de ribosoma (RBS), una secuencia de espaciador y una secuencia de conector.

La secuencia de sitio de unión de ribosoma puede incluirse en por lo menos una o más copias, por ejemplo 1 a 5 copias, o 2 copias en la secuencia reguladora.

La secuencia reguladora incluye una primera secuencia RBS que incluye una secuencia de nucleótidos SEC ID nº 2, y un primer espaciador que se selecciona del grupo que consiste en las secuencias de nucleótidos SEC ID nº 4 a SEC ID nº 6. Puede incluir, aparte de la primera secuencia RBS y la primera secuencia de espaciador, una segunda secuencia RBS que se conecta con el extremo 3' del primer espaciador directamente o mediante un conector, y una primera secuencia de espaciador y una segunda secuencia RBS que está conectada con el extremo 3' del primer espaciador directamente o mediante un conector, y un segundo espaciador.

Específicamente, la secuencia reguladora incluye una copia de secuencia RBS. Opcionalmente, la secuencia

55

50

40

5

10

15

reguladora incluye además una secuencia de conector de tamaño de 1 a 100 pb que está conectada con el extremo 3' del primer espaciador (promotor-RBS1-Espaciador1-conector).

La secuencia reguladora puede incluir dos copias de secuencia RBS. Por ejemplo, la secuencia reguladora puede incluir además, aparte del promotor de SEC ID nº 1, la primera secuencia RBS de SEC ID nº 2 y el primer espaciador seleccionado de entre el grupo que consiste en las secuencias de SEC ID nº 4 a SEC ID nº 6, por lo menos uno seleccionado de entre el grupo que consiste en (i) una secuencia de conector de SEC ID nº 12 y (ii) un segundo espaciador seleccionado de entre el grupo que consiste en las secuencias de SEC ID nº 7 a nº 11. Por ejemplo, la segunda secuencia RBS puede conectarse con el extremo 3' del primer espaciador directamente o mediante un conector (promotor-RBS1-Espaciador1-RBS2, o promotor-RBS1-Espaciador1-conector-RBS2). En la secuencia reguladora, que incluye dos copias de secuencia RBS, un segundo espaciador puede conectarse con el extremo 3' de la segunda secuencia RBS. Además, la combinación del primer RBS y primer espaciador, o segundo RBS y segundo espaciador, puede repetirse por lo menos una o más veces, por ejemplo 1 a 5 veces, 2 veces, 3 veces, 4 veces o 5 veces.

Los ejemplos específicos de secuencia reguladora no modificada se muestran a continuación:

5

10

15

20

- (1) un promotor y una combinación de RBS y secuencia de espaciador que están unidos al extremo 3' del promotor directamente o mediante un conector (por ejemplo, promotor-primer conector-RBS1-Espaciador1, o promotor-RBS-Espaciador1),
- (2) un promotor y por lo menos dos combinaciones de RBS y secuencia de espaciador (por ejemplo, promotor-RBS1-Espaciador1-RBS2-Espaciador2), y
- (3) un promotor, por lo menos dos combinaciones de RBS y secuencia de espaciador, y un segundo conector que está situado entre la primera secuencia de espaciador y el segundo RBS (por ejemplo, promotor-RBS1-Espaciador1-segundo conector-RBS2-Espaciador2).
- En una primera forma de realización, la secuencia de sitio de unión de ribosoma es una secuencia de nucleótidos de un tamaño de 7 a 20 pb que incluye una secuencia de nucleótidos SEC ID nº 2, por ejemplo una secuencia de nucleótidos de SEC ID nº 2. La secuencia de conector es una secuencia de nucleótidos de un tamaño de 5 a 100 pb, o de 5 a 80 pb, por ejemplo una secuencia de nucleótidos SEC ID nº 12.
- La secuencia de conector puede ser un conector unido entre el promotor y el primer RBS, o un conector localizado entre el primer espaciador y el segundo RBS, y la secuencia de nucleótidos del conector puede seleccionarse para resultar adecuado para cada promotor. El promotor puede estar comprendido en la secuencia reguladora junto con el primer conector con una secuencia de nucleótidos SEC ID nº 12 situado entre el primer espaciador y el segundo RBS.
- 40 La secuencia de espaciador en la secuencia reguladora puede presentar una longitud de 3 a 15 bases de diversas bases, y el incremento de la eficiencia de expresión del gen situado en dirección 3' de la secuencia reguladora. La secuencia de espaciador puede prepararse en diversas composiciones de bases y longitudes de bases mediante la consideración del gen de interés, el tipo de célula hospedadora y similares.
- La secuencia reguladora modificada de la presente invención incluye por lo menos una base que sustituye por lo menos una base de por lo menos una seleccionada de un primer espaciador y un segundo espaciador.
- Por ejemplo, en el caso de que la secuencia reguladora modificada incluya una copia de RBS, la secuencia reguladora modificada incluye promotor, primer RBS y un primer espaciador del que TT de una primera base y una segunda base puede sustituirse por las bases GA, GT o GC.
  - En el caso de que la secuencia reguladora modificada incluya dos copias de RBS, TT de una primera base y una segunda base del primer espaciador conectado con el extremo 3' del primer RBS puede sustituirse por GA, GT o GC; TT de una primera base y una segunda base del segundo espaciador conectado con el extremo 3' del segundo RBS puede sustituirse por GG, GA, GT o GC; o TT de una primera base y una segunda base del primer espaciador puede sustituirse por GA, GT o GC y TT de una primera base y una segunda base del segundo espaciador puede sustituirse por GG, GA, GT o GC.
- La primera secuencia de espaciador se selecciona del grupo que consiste en los nucleótidos de SEC ID nº 4 a nº 6. La segunda secuencia de espaciador puede ser por lo menos una secuencia de nucleótidos seleccionada de entre el grupo que consiste en los nucleótidos de SEC ID nº 7 a nº 11.
- En una forma de realización, la secuencia de promotor, la secuencia RBS, el primer espaciador y el segundo espaciador y su secuencia modificada, y el conector que es aplicable a la secuencia reguladora, se ejemplifican en la tabla 2 (cabe destacar que el 1º espaciador R1TT de SEC ID nº 3 no es parte de la invención).

[Tabla 2]

SEC ID nº	secuencia (5' -> 3')	nombre
1	aagcgcctcatcagcggtaaccatcacgggttcgggtgcgaaaaaccatgcca taacaggaatgttcctttcgaaaattgaggaagccttatgcccttcaaccctactta gctgccaattattccgggcttgtgacccgctacccgataaataggtcggctgaaa	promotor
	aatttegttgeaatateaacaaaaaggeetateattgggaggtgtegeaceaagt acttttgegaagegeeatetgaeggatttteaaaagatgtatatgeteggtgegga aacetae	
2	gaaagga	RBS
3	tttttaccc	1° ESPACIADOR R1TT
4	gattttaccc	1º ESPACIADOR R1GA
5	gtttttaccc	1º ESPACIADOR R1GT
6	gcttttaccc	1º ESPACIADOR R1GC
7	ttacaaa	2º ESPACIADOR, R2TT
8	gaacaaa	2º ESPACIADOR, R2GA
9	gtacaaa	2º ESPACIADOR, R2GT
10	gcacaaa	2º ESPACIADOR, R2GC
11	ggacaaa	2º ESPACIADOR, R2GG
12	atggctgtatacgaactcccagaactcgactacgcatacgac	conector

La secuencia reguladora puede incluir por lo menos un polinucleótido seleccionado de entre el grupo que consiste en las secuencias mostradas en la tabla 3 (cabe destacar que las secuencias SEC ID nº 13 y nº 17 no forman parte de la presente invención) y regula la expresión de la psicosa epimerasa en *Corynebacterium* sp.

[Tabla 3]

SEC ID nº	secuencia (5' -> 3')	nombre
13	(SEC ID nº 1)+gaaagga ttttttaccc	RBS1/1°ESPACIADOR-TT
14	(SEC ID nº 1)+gaaagga gattttaccc	RBS1/1° ESPACIADOR-GA
15	(SEC ID nº 1)+gaaagga gtttttaccc	RBS1/1° ESPACIADOR-GT
16	(번호1)+gaaagga gcttttaccc	RBS1/1° ESPACIADOR-GC
17	(SEC ID nº 1)+gaaagga ttttttaccc atgqctqtatacgaactcccagaactcgactacgcatacgac	RBS1/1° ESPACIADOR-TT conector
18	(SEC ID nº 1)+gaaagga gattttaccc atggctgtatacgaactcccagaactcgactacgcatacgac gaaagga ttacaaa	SOD-R1GA/R2TT
19	(SEC ID n° 1)+gaaagga gattttaccc atggctgtatacgaactcccagaactcgactacgcatacgac gaaagga gaacaaa	SOD-R1GA/R2GA
20	(SEC ID n° 1)+gaaagga gattttaccc atggctgtatacgaactcccagaactcgactacgcatacgac gaaagga gtacaaa	SOD-R1GA/R2GT
21	(SEC ID nº 1)+gaaagga gattttaccc atggctgtatacgaactcccagaactcgactacgcatacgac gaaagga gcacaaa	SOD-R1GA/R2GC
22	(SEC ID n° 1)+gaaagga gattttaccc atggctgtatacgaactcccagaactcgactacgcatacgac gaaagga ggacaaa	SOD-R1GA/R2GG
23	(SEC ID n°1) +gaaagga gtttttaccc atggctgtatacgaactcccagaactcgactacgcatacgac gaaagga ttacaaa	SOD-R1 GT/R2TT
24	(SEC ID nº1) + gaaagga gtttttaccc atggctgtatacgaactcccagaactcgactacgcatacgac gaaaqga gaacaaa	SOD-R1GT/R2GA

SEC ID nº	secuencia (5' -> 3')	nombre
25	(SEC ID n° 1) + gaaagga gtttttaccc atggctgtatacgaactcccagaactcgactacgcatacgac gaaaqga gtacaaa	SOD-R1GT/R2GT
26	(SEC ID n°1) + gaaagga gtttttaccc atggctgtatacgaactcccagaactcgactacgcatacgac gaaaqga gcacaaa	SOD-R1GT/R2GC
27	(SEC ID n° 1) + gaaagga gtttttaccc atggctgtatacgaactcccagaactcgactacgcatacgac gaaagga ggacaaa	SOD-R1GT/R2GG
28	(SEC ID n°1) + gaaagga gottttaccc atggctgtatacgaactcccagaactcgactacgcatacgac gaaaqga ttacaaa	SOD-R1GC/R2TT
29	(SEC ID n° 1) + gaaagga gcttttaccc atggctgtatacgaactcccagaactcgactacgcatacgac gaaagga gaacaaa	SOD-R1GC/R2GA
30	(SEC ID n° 1) + gaaagga gcttttaccc atggctgtatacgaactcccagaactcgactacgcatacgac gaaagga gtacaaa	SOD-R1GC/R2GT
31	(SEC ID n°1) + gaaagga gcttttaccc atggctg tatacgaact cccagaactc gactacgcat acgac gaaagga gcacaaa	SOD-R1GC/R2GC
32	(SEC ID n° 1) + gaaagga gcttttaccc atggctg tatacgaact cccagaactc gactacgcat acgac gaaagga ggacaaa	SOD-R1GC/R2GG

La tabla 4 muestra ejemplos, fuera del alcance de la presente invención, en los que la secuencia reguladora incluye un promotor controlado por Tac1 con la SEC ID nº 63, un promotor controlado por Tac2 con la SEC ID nº 64 o un promotor controlado por Trc, y la secuencia reguladora incluye por lo menos un polinucleótido seleccionado de entre el grupo que consiste en las secuencias mostradas en SEC ID nº 66 a SEC ID nº 75 y regula la expresión de la psicosa epimerasa en *Corynebacterium* sp.

[Tabla 4]

SEC ID nº	acquencia (FL > 21)	namhra
SEC ID II'	secuencia (5' -> 3')	nombre
69	(SEC ID nº 63)+gaaagga	Tac1/RBS
70	(SEC ID nº 63)+	Tac1/conector/RBS
	gtggaattgtgagcggataacaatttcacacaggaaacagaattcccggg	
	gaaagga	
71	(SEC ID nº 63)+	Tac1/ conector /RBS/espaciador
	gtggaattgtgagcggataacaatttcacacaggaaacagaattcccggg	
	gaaagga gaacaaa	
72	(SEC ID nº 64)+gaaagga	Tac2/RBS
73	(SEC ID nº 64)+	Tac2/ conector /RBS
	gtggaattgtgagcggataacaatttcacacaggaaacagaattcccggg	
	gaaagga	
74	(SEC ID nº 64)+	Tac2/ conector /RBS/espaciador
	gtggaattgtgagcggataacaatttcacacaggaaacagaattcccggg	
	gaaagga gaacaaa	
75	(SEC ID nº 65)	Trc/conector
	gtggaattgtgagcggataacaatttcacacaggaaacagacccatgg	

10

5

La secuencia reguladora de la presente invención puede regular la expresión de la psicosa epimerasa conectada con la secuencia reguladora en dirección 3' en *Corynebacterium* sp. Por lo tanto, el casete de expresión génica de la presente invención puede utilizarse para expresar el gen diana en *Corynebacterium* sp. Y el gen diana puede ser una secuencia de nucleótidos codificante de psicosa epimerasa. La psicosa epimerasa puede derivarse de

Clostridium scidens, Treponema primitia, o Ensifer adhaerens. La psicosa epimerasa derivada de Agrobacterium tumefaciens presenta una baja actividad enzimática y estabilidad térmica y, de esta manera, no resulta preferente.

El promotor derivado de *E. coli* muestra una actividad baja en *Corynebacterium* sp., debido a que el factor inductor de expresión presenta una baja permeabilidad y el material de expresión génica no existe en *Corynebacterium* sp. Aunque se utiliza el mismo promotor, la actividad de expresión del promotor puede variar según el gen diana que debe expresarse. El promotor aplicable a *Corynebacterium* sp. muestra una actividad de promotor baja y *Corynebacterium* sp. no proporciona una amplia selección de promotores. Por lo tanto, un promotor adecuado para *Corynebacterium* sp. no puede prepararse con facilidad. Aunque el promotor se utiliza convenientemente en *Corynebacterium* sp., el promotor puede presentar una actividad reguladora diferente de transcripción o expresión según el tipo de gen diana. El promotor, la secuencia reguladora y el casete de expresión génica de la presente invención se utilizan muy preferentemente para expresar psicosa epimerasa en *Corynebacterium* sp.

5

10

20

30

35

40

45

50

65

La secuencia codificante de la proteína diana puede conectarse con el extremo 3' de la secuencia reguladora utilizada en *Corynebacterium* sp. directamente o mediante un conector.

Preferentemente se utiliza una psicosa epimerasa con una actividad enzimática y estabilidad térmica elevados. Resulta importante combinar el promotor o la secuencia reguladora con la secuencia codificante de la psicosa epimerasa. La secuencia codificante de la psicosa epimerasa puede proporcionar un nivel de expresión preferente de la proteína, al utilizarlo con el promotor de la presente invención y puede obtenerse una elevada estabilidad térmica debido al pliegue correcto de la proteína. La secuencia codificante de la psicosa epimerasa según la presente invención preferentemente se utiliza junto con el promotor o la secuencia reguladora de la presente invención.

25 En una forma de realización, la psicosa epimerasa se deriva de *Clostridium scidens, Treponema primitia, Ensifer adhaerens* o *Ruminococcus torques*, y preferentemente por lo menos una secuencia de aminoácidos mostrada en SEC ID nº 33 a nº 36.

Con la condición de que la psicosa epimerasa mantenga la actividad enzimática de conversión de fructosa en psicosa, puede utilizarse cualquier secuencia modificada de las secuencias de aminoácidos mostradas en SEC iD nº 33 a nº 36 mediante la obtención de sustituciones, inserciones y/o deleciones del aminoácido parcial. Por ejemplo, la secuencia modificada puede incluir una secuencia de aminoácidos con una identidad de las secuencias de aminoácidos 70% o superior, de 80% o superior, de 90% o superior, de 95% o superior o de 99% o superior, en comparación con la secuencia de aminoácidos mostrada en SEC ID nº 33 a nº 36.

La secuencia codificante de la psicosa epimerasa puede ser una secuencia de nucleótidos de psicosa epimerasa derivada de *Clostridium scidens, Treponema primitia, Ensifer adhaerens* o *Ruminococcus torques*, o una secuencia modificada obtenida mediante optimización de la secuencia codificante para que resulte adecuada para la expresión en *E.coli* o *Corynebacterium* sp.

Por ejemplo, la secuencia de nucleótidos codificante de la psicosa epimerasa puede ser una secuencia codificante de entre cualquiera de las secuencias de aminoácidos seleccionadas de las secuencias SEC ID nº 33 a nº 36. Específicamente, la secuencia de nucleótidos puede ser cualquiera seleccionada de las secuencias SEC ID nº 37 a SEC ID nº 44, o una secuencia de nucleótidos que presenta sustancialmente la misma homología de secuencias a las mismas. La expresión sustancialmente la misma homología de secuencias se refiere a cualquier secuencia de nucleótidos con una identidad de secuencia de nucleótidos de 70% o superior, de 90% o superior o de 98% o superior, en comparación con por lo menos una secuencia de nucleótidos seleccionada de SEC ID nº 37 a SEC ID nº 44, en el caso de que cualquier secuencia de nucleótidos se alinee con la secuencia de nucleótidos seleccionada de las secuencias SEC ID nº 37 a SEC ID nº 44 y se lleve a cabo el análisis de su secuencia.

En una forma de realización, la psicosa epimerasa derivada de *Clostridium scidens* (CDPE) incluye una secuencia de aminoácidos SEC ID nº 33 y una secuencia de nucleótidos codificante de la secuencia de aminoácidos SEC ID nº 33, por ejemplo la secuencia de nucleótidos de SEC ID nº 37 o SEC ID nº 38.

En una forma de realización, la psicosa epimerasa derivada de *Treponema primitia* (TDPE) incluye una secuencia de aminoácidos SEC ID nº 34 y una secuencia de nucleótidos codificante de la secuencia de aminoácidos SEC ID nº 34, por ejemplo la secuencia de nucleótidos de SEC ID nº 39 o SEC ID nº 40.

En una forma de realización, la psicosa epimerasa derivada de *Ensifer adhaerens* (EDPE) incluye una secuencia de aminoácidos SEC ID nº 35 y una secuencia de nucleótidos codificante de la secuencia de aminoácidos SEC ID nº 35, por ejemplo la secuencia de nucleótidos de SEC ID nº 41 o SEC ID nº 42.

En una forma de realización, la psicosa epimerasa derivada de *Ruminococcus torques* (RDPE) incluye una secuencia de aminoácidos SEC ID nº 36 y una secuencia de nucleótidos codificante de la secuencia de aminoácidos SEC ID nº 36, por ejemplo la secuencia de nucleótidos de SEC ID nº 43 o SEC ID nº 44.

El casete de expresión génica de la presente invención puede comprender además por lo menos una secuencia seleccionada de entre el grupo que consiste en un origen de replicación, una secuencia líder, un marcador de selección, un sitio de clonación y un sitio de reconocimiento de enzima de restricción.

- En otra forma de realización, se proporciona el casete de expresión génica útil para *Corynebacterium* sp. que comprende un promotor utilizado para *Corynebacterium* sp., una secuencia reguladora que incluye el promotor o la secuencia reguladora y un polinucleótido codificante del casete de expresión de la psicosa epimerasa de *Corynebacterium* sp.
- 10 El promotor utilizado para *Corynebacterium* sp., la secuencia reguladora y la psicosa epimerasa se han descrito anteriormente.

15

20

25

30

45

50

55

60

- El casete de expresión génica de la presente invención puede comprender además por lo menos una secuencia seleccionada de entre el grupo que consiste en un origen de replicación, una secuencia líder, un marcador de selección, un sitio de clonación y un sitio de reconocimiento de enzima de restricción.
- El casete de expresión génica puede utilizarse en un constructo de polinucleótido desnudo o en un vector recombinante. La expresión un vector recombinante se refiere a una molécula de nucleótidos que es capaz de transferir un polinucleótido diana que se encuentra operablemente ligado al vector recombinante. El polinucleótido diana puede conectarse operablemente con un regulador de la transcripción, tal como el promotor y un terminador de transcripción.
- El vector recombinante puede ser un vector de clonación o un vector de expresión según un método ampliamente conocido de la técnica (Francois Baneyx, current Opinion Biotechnology 1999, 10:411-421). El vector recombinante puede ser cualquier vector que haya sido utilizado para la recombinación genética y puede ser cualquiera seleccionado de vectores plásmidos y vectores víricos (por ejemplo, retrovirus deficientes en la replicación,
  - adenovirus y virus adenoasociados) vector vírico con una actividad equivalente a la del vector. Entre los ejemplos de los vectores recombinantes se incluyen por lo menos un vector seleccionado de entre el grupo que consiste en los vectores pET, pKK223-3, pTrc99a, pKD, pXMJ19, pCES208 y similares. Preferentemente, el vector puede ser un vector lanzadera de *E. coli-Corynebacterium* (pCES208, J. Microbiol. Biotechnol., 18:639-647, 2008).
  - De acuerdo con lo anterior, el vector que incluye el casete de expresión génica puede ser un vector de expresión, tal como un plásmido, que puede crecer en *Corynebacterium* sp. y expresar la proteína diana.
- 35 El terminador de transcripción puede ser un terminador rrnB, rrnB\_T1, rrnB\_T2, o T7, o preferentemente un terminador T7 derivado del vector pET21a.
- El vector incluye un promotor con una secuencia de nucleótidos mostrada en SEC ID nº 1 o únicamente una secuencia reguladora sin el gen diana. El vector puede ser un vector lanzadera, un vector de replicación o un vector de expresión que pueda crecer en *E. coli* y *Corynebacterium* sp.
  - En particular, la presente invención proporciona un vector, tal como un plásmido que incluye una secuencia reguladora para regular la secuencia polinucleótidoa diana de expresión situada en dirección 5' de la secuencia polinucleótida diana. La secuencia reguladora incluye un promotor que presenta una secuencia de nucleótidos SEC ID nº 1, una secuencia de primer sitio de unión de ribosoma (RBS) y una primera secuencia de espaciador, tal como se ha indicado anteriormente.
  - La secuencia reguladora puede incluir además una segunda secuencia RBS conectada con el extremo 3' del primer espaciador directamente o mediante un conector. La secuencia reguladora puede incluir además una segunda secuencia RBS y una segunda secuencia de espaciador conectada con el extremo 3' de la segunda RBS directamente o mediante un conector.
  - En el vector que incluye el promotor, la secuencia del primer espaciador comprende una secuencia de nucleótidos modificada en la que la primera base y la segunda base (TT) en la secuencia de nucleótidos SEC ID nº 3 se han sustituido por GA, GT o GC. El primer espaciador modificado incluye una secuencia SEC ID nº 4, nº 5 o nº 6.
  - En el caso de que el vector incluya el primer espaciador y el segundo espaciador, el primer espaciador o el segundo espaciador o ambos puede incluir por lo menos una base modificada. Por ejemplo, la secuencia del segundo espaciador incluye una secuencia de nucleótidos modificada en la que la primera y la segunda base en la secuencia de nucleótidos SEC ID nº 7 se ha sustituido por GA, GT, GC o GG. La secuencia de nucleótidos modificada del segundo espaciador puede incluir una secuencia de nucleótidos seleccionada de las secuencias SEC ID nº 8 a nº 11.
  - Alternativamente, la primera y segunda bases (TT) de la secuencia del primer espaciador que presenta una secuencia de nucleótidos SEC ID nº 3 se sustituyen por GA, GT o GC, y la primera y la segunda bases (TT) de la

secuencia del segundo espaciador que presentan una secuencia de nucleótidos SEC ID nº 7 pueden ser TT, GA, GT, GC o GG. Los ejemplos de secuencia del segundo espaciador son una secuencia de nucleótidos SEC ID nº 7 a nº 11.

- 5 En el vector que incluye únicamente una secuencia reguladora sin un gen diana, el casete de expresión y el vector que incluye el casete de expresión que incluye RBS, conector, primer espaciador, segundo espaciador, una secuencia codificante de psicosa epimerasa y una secuencia reguladora, son iguales a los indicados anteriormente.
- 10 En una forma de realización, se proporciona una célula recombinante de *Corynebacterium* sp. que incluye el casete de expresión génica o transformada con el casete de expresión.
- El método de transformación de una célula hospedadora con el vector recombinante puede llevarse a cabo mediante cualquier método de transformación conocido por el experto ordinario en la materia sin limitación. Por ejemplo, entre los ejemplos no limitativos del método se incluyen la fusión de protoplastos, la electroporación, el bombardeo de proyectiles y la infección con un vector vírico.
- El *Corynebacterium* sp. transformado de la presente invención muestra una elevada estabilidad y eficiencia de expresión de psicosa epimerasa introducida y, de esta manera, puede mantener la elevada tasa de conversión de la psicosa durante un tiempo prolongado. El *Corynebacterium* sp. transformado puede aplicarse útilmente a la producción de psicosa e incrementar el rendimiento de producción de la psicosa.
  - Pueden resultar un Corynebacterium sp. preferente, Corynebacterium glutamicum, Corynebacterium acetoglutamicum, Corynebacterium acetoacidophilum, Corynebacterium thermoaminogenes, Corynebacterium melassecola o Corynebacterium efficiens.

25

40

45

- El Corynebacterium sp. transformado de la presente invención puede ser un Corynebacterium glutamicum recombinante.
- 30 El cultivo de Corynebacterium sp. puede llevarse a cabo en un medio adecuado según el método conocido de la técnica. El cultivo de la célula recombinante puede llevarse a cabo en un medio y bajo condiciones seleccionadas fácilmente según la propiedad de la cepa (célula hospedadora) por el experto en la materia. Por ejemplo, el cultivo puede ser un cultivo de tipo continuo, un cultivo de tipo semicontinuo, o un cultivo de tipo por lotes, aunque no se encuentra limitado a ellos. El medio de cultivo aplicable a la presente invención incluye una fuente de carbono, una fuente de nitrógeno, sales inorgánicas, vitamina y/o elementos traza. Entre las fuentes de carbono preferentes se incluyen sacáridos, tales como monosacárido, disacárido o polisacárido. Con el fin de mantener la concentración de iones metálicos, puede añadirse agente quelante al medio de cultivo. Todos los componentes del medio de cultivo pueden esterilizarse mediante calentamiento a 1,5 bar y 121°C durante 20 minutos, o la esterilización mediante filtración.
  - En una forma de realización, puede proporcionarse la utilización de una composición que incluye por lo menos uno seleccionado de entre el grupo que consiste en una célula de *Corynebacterium* sp. recombinante, un cultivo de células de *Corynebacterium* sp. recombinantes, un lisado de las células de *Corynebacterium* sp. recombinantes y un extracto de dicho cultivo celular o dicho lisado celular, en el que las células de *Corynebacterium* sp. recombinantes incluyen un casete de expresión celular o un vector tal como se ha indicado anteriormente, para la producción de psicosa epimerasa y/o psicosa.
- En otra forma de realización, puede proporcionarse un método para producir psicosa incluye una etapa de reacción de un sustrato que contiene fructosa con una composición para la producción de psicosa, que incluye por lo menos uno seleccionado de entre el grupo que consiste en una psicosa epimerasa obtenida mediante la utilización de la *Corynebacterium* sp. recombinante, una célula recombinante, un cultivo de la célula recombinante, un lisado de las células recombinantes y un extracto del cultivo celular o lisado celular.
- El cultivo puede contener una proteína enzima producida a partir de la célula de *Corynebacterium* sp. recombinante y puede incluir la célula recombinante o puede, alternativamente, encontrarse en una forma libre de células. El lisado puede resultar de la lisis de la célula recombinante o puede incluir un sobrenadante obtenido mediante centrifugación del lisado, de manera que contiene la proteína enzimática producida a partir de la célula recombinante en ambos casos. A menos que se indique lo contrario en la presente memoria, la célula recombinante se refiere a por lo menos una seleccionada de entre el grupo que consiste en una masa celular de la cepa, un cultivo de la cepa y un lisado de la cepa.
  - El método de producción de psicosa incluye una etapa de hacer reaccionar el *Corynebacterium* sp. con sustrato que contiene fructosa. En una forma de realización, la reacción entre las proteínas enzimáticas y la fructosa puede llevarse a cabo mediante el cultivo de una masa celular de la célula recombinante en un medio que contiene fructosa. La reacción del *Corynebacterium* sp. con sustrato que contiene fructosa puede llevarse a cabo poniendo en contacto el *Corynebacterium* sp. con fructosa que puede ser la fructosa en contacto con por lo menos uno

seleccionado de entre el grupo que consiste en una masa celular de la cepa, un cultivo de la cepa y un lisado de la cepa. Además, la reacción del *Corynebacterium* sp. con sustrato que contiene fructosa puede llevarse a cabo mediante la mezcla de *Corynebacterium* sp. con fructosa, o poniendo en contacto el *Corynebacterium* sp. inmovilizado en el sustrato con fructosa, de manera que se convierte la fructosa en psicosa.

5

10

45

50

65

Para la producción eficaz de psicosa en el método, se utiliza fructosa, que sirve como sustrato, a una concentración de 40% a 75% (p/v) en la mezcla de reacción, por ejemplo a una concentración de 50% a 75% (p/v). Una concentración más baja que el límite inferior de fructosa puede reducir la viabilidad económica de la psicosa de esta manera. Por otra parte, en caso de hallarse presente a una concentración más elevada que el límite superior, la fructosa es menos fácil de disolver. Por lo tanto, la concentración preferentemente se encuentra comprendida dentro del intervalo. La fructosa puede encontrarse en forma de una solución en un tampón o en agua (por ejemplo, aqua destilada).

La reacción puede llevarse a cabo a un pH de 6 a 9.5, por ejemplo a un pH de 7 a 9, a un pH de 7 a 8, a un pH de 8 a 9; la reacción puede llevarse a cabo bajo la condición de temperatura de 40°C o superior, por ejemplo a 4°C o superior. En el caso de que la reacción pueda llevarse a cabo a una temperatura de 80°C, el sustrato fructosa puede presentar una tendencia a pardearse. Por lo tanto, la reacción puede llevarse a cabo bajo la condición de temperatura de 40°C a 80°C, por ejemplo de 50°C a 75°C, de 60°C a 75°C o de 68°C a 75°C.

- Además, un periodo de reacción más prolongado conduce a una tasa de conversión más elevada de psicosa. Se recomienda llevar a cabo la reacción durante 1 h o más, por ejemplo 2 h o más, 3 h o más, 4 h o más, 5 h o más o 6 h o más. Sin embargo, el tiempo de reacción preferentemente se fija dentro de las 48 h, ya que en el caso de que el tiempo de reacción se extienda durante 48 h, el incremento de la tasa de conversión de psicosa se vuelve pequeño o puede reducirse. Por lo tanto, el tiempo de reacción puede fijarse en el intervalo de 1 a 48 h, de 2 a 48 h, de 3 a 48 h, de 4 a 48 h, de 5 a 48 h o de 6 a 48 h. Considerando los aspectos industriales y económicos, el tiempo de reacción puede encontrarse comprendido dentro del intervalo de 1 a 48 h, de 2 a 36 h, de 3 a 24 h, de 3 a 12 h o de 3 a 6 h, aunque no se encuentra limitado a ellos. Dicha condición se selecciona a fin de maximizar el rendimiento de conversión de fructosa en psicosa.
- Además, en el caso de que se utilice la célula recombinante en el método de producción de psicosa, su concentración puede fijarse en el intervalo de 5 mg(dcw, peso celular seco)/ml o más elevado en la mezcla de reacción entera, por ejemplo en el intervalo de 5 a 100 mg(dcw)/ml, de 10 a 90 mg(dcw)/ml, de 20 a 80 mg(dcw)/ml de 30 a 70 mg(dcw)/ml, de 40 a 60 mg(dcw)/ml o de 45 a 55 mg(dcw)/ml. En el caso de que la concentración de la masa celular sea más baja que el límite inferior, se muestra poca o ninguna actividad de conversión de la psicosa.

  Por otra parte, una concentración que exceda el límite superior se refiere al amontonamiento de las células que es probable que actúan obstruyendo la optimización del rendimiento de conversión entero de la psicosa.

La proteína enzimática con actividad de conversión de psicosa (por ejemplo, la psicosa epimerasa) puede mostrar la propiedad de un metaloenzima, la actividad del cual está controlada por iones metálicos. Por lo tanto, la presente de un ion metálico puede estimular la reacción catalizada por la proteína enzimática, incrementando de esta manera el rendimiento de producción de psicosa.

Por lo tanto, la composición para la producción de psicosa puede comprender además un ion metálico. El método para producir psicosa puede comprender además la adición de un ion metálico. En una forma de realización, el ion metálico puede añadirse al medio de cultivo en el procedimiento de cultivo, o puede añadirse durante el procedimiento de cultivo.

En otra forma de realización, el ion metálico puede añadirse a fructosa o a una mezcla de fructosa y *Corynebacterium* sp. El ion metálico puede añadirse a un soporte en el que se inmovilizan las proteínas enzimáticas (antes de la adición de D-fructosa) o a una mezcla de un soporte con proteína enzimática inmovilizada y D-fructosa (después de la adición de D-fructosa) o puede añadirse en mezcla con D-fructosa o individualmente junto con D-fructosa.

El ion metálico que puede contribuir a una mejora del rendimiento de producción de psicosa puede seleccionarse del grupo que consiste en un ion cobre, un ion manganeso, un ion calcio, un ion magnesio, un ion cinc, un ion níquel, un ion cobalto, un ion hierro, un ion aluminio y cualquier combinación de los mismos. Por ejemplo, puede utilizarse un ion de cobalto o un ion de cobalto o ambos. Considerando la mejora del rendimiento de producción de psicosa, el ion metálico puede añadirse en una cantidad de 0.5 mM o superior. En el caso de que la cantidad de ion metálico exceda de 5 mM, el efecto de adición resulta insignificante respecto a la cantidad en exceso. Por lo tanto, la cantidad del ion metálico se fija en 5 mM o menos. Por ejemplo, el ion metálico se utiliza en una cantidad de 0.5 mM a 5 mM, por ejemplo, de 0.5 mM a 2 mM.

Con la condición de que establezca un medio para mantener la actividad de la cepa o la proteína enzimática producida a partir de la cepa durante un periodo de tiempo prolongado, puede utilizarse cualquier soporte configurado para inmovilizar la cepa o la proteína enzimática en el mismo. Por ejemplo, como soporte puede servir alginato sódico. El alginato sódico, un polisacárido coloidal natural presente en abundancia en las paredes

celulares de las algas pardas, consiste en ácido  $\beta$ -D-manurónico y ácido  $\alpha$ -L-glucurónico, con un enlace covalente  $\beta$  1-4 entre ellos. Permite la inmovilización estable de la enzima o el enzima al mismo; el polímero lineal puede resultar ventajoso para el rendimiento de producción de psicosa.

- 5 En una forma de realización, puede utilizarse una solución al 1.5 ~ 4.0% (p/v) de alginato sódico (por ejemplo, solución acuosa de alginato sódico), por ejemplo, puede utilizarse una solución aproximadamente al 2.5% (p/v) de alginato sódico para inmovilizar la cepa. A título de ejemplo, una masa celular de la cepa, un caldo de cultivo que contiene el enzima producido por la cepa, o un lisado de la cepa, se mezcla con 1 a 2 volúmenes de una solución acuosa de alginato sódico y la mezcla se añade gota a gota a una solución 0.2 M de ion calcio utilizando una bomba de jeringa y una bomba de vacío, formando perlas en las que se inmoviliza la masa celular de la cepa, el cultivo que contiene el enzima produciido por la cepa, o el lisado de la cepa. El enzima puede purificarse a partir de la cepa, un cultivo de la cepa o un lisado de la cepa utilizando un método típico, por ejemplo diálisis, precipitación, adsorción, electroforesis, cromatografía de afinidad o cromatografía de intercambio iónico.
- El método de producción de psicosa comprende la reacción de las proteínas enzimáticas con D-fructosa. En una forma de realización, la reacción entre las proteínas enzimáticas y la D-fructosa puede llevarse a cabo mediante la puesta en contacto de las proteínas enzimáticas con D-fructosa.
- En una forma de realización, la reacción entre las proteínas enzimáticas y la fructosa puede llevarse a cabo mediante la puesta en contacto de las proteínas enzimáticas con fructosa. En otra forma de realización, el contacto entre las proteínas enzimáticas y la fructosa puede llevarse a cabo mediante, por ejemplo, la mezcla de las proteínas enzimáticas con fructosa o poniendo en contacto fructosa con las proteínas enzimáticas inmovilizadas en un soporte. En una forma de realización adicional, la reacción entre las proteínas enzimáticas y la fructosa puede llevarse a cabo mediante el cultivo de una masa celular de la célula recombinante en un medio que contiene fructosa. La reacción de las proteínas enzimáticas con fructosa conduce a la conversión y, de esta manera, la producción de psicosa a partir de D-fructosa.
- En el método de producción de psicosa, puede conseguirse eficiencia en la producción de psicosa al utilizar las proteínas enzimáticas a una concentración de 0.001 mg/ml a 1.0 mg/ml en la mezcla de reacción, a una concentración de 0.005 mg/ml a 1.0 mg/ml, a una concentración de 0.01 mg/ml a 1.0 mg/ml, a una concentración de 0.01 mg/ml. En el caso de que las proteínas enzimáticas se utilicen a una concentración más baja que el límite inferior, el rendimiento de conversión de psicosa puede ser bajo. Por otra parte, una concentración excesivamente elevada de las proteínas enzimáticas reduce la economía industrial de la producción de psicosa.

35

60

- Para la producción eficaz de psicosa en el método, se utiliza fructosa, que sirve como sustrato, a una concentración de 40% a 75% (p/v) en la mezcla de reacción, por ejemplo a una concentración de 50% a 75% (p/v). Una concentración más baja que el límite inferior de fructosa puede reducir la viabilidad económica de la psicosa de esta manera. Por otra parte, en caso de hallarse presente a una concentración más elevada que el límite superior, la fructosa es menos fácil de disolver. Por lo tanto, la concentración preferentemente se encuentra comprendida dentro del intervalo. La fructosa puede encontrarse en forma de una solución en un tampón o en agua (por ejemplo, agua destilada).
- Mediante la consideración de las condiciones óptimas de la reacción de proteína enzima, puede ajustarse el pH, temperatura y concentración de enzima de la reacción. Por ejemplo, el pH de la reacción puede ser de 6 a 9, o la temperatura puede ser de 30°C o superior, por ejemplo de 40°C o superior, debido a que la fructosa puede presentar una tendencia al pardeamiento a 80°C o a una temperatura más elevada. Además, un periodo de tiempo de reacción más prolongado conduce a una tasa de conversión más elevada de psicosa. Se recomienda llevar a cabo la reacción durante 1 h o más, debido a la estabilidad térmica del enzima (a 50°C). En el caso de que el tiempo de reacción exceda de 8 horas, no puede presentar ningún efecto significativo sobre la tasa de conversión de la psicosa o puede reducir la tasa de conversión. De esta manera, el tiempo de reacción es preferentemente de 8 horas o menos.
- En el caso de que la célula recombinante se utilice en el método de producción de psicosa, su concentración puede fijarse en el intervalo de 5 mg (dcs: peso celular seco)/ml o más en la mezcla de reacción entera.
  - En una forma de realización, el método para producir psicosa puede comprender una etapa de hacer reaccionar la fructosa con una célula recombinante que expresa psicosa epimerasa o la psicosa epimerasa separada de la célula recombinante. En una forma de realización, el método para producir psicosa puede comprender el cultivo y recuperación de una célula recombinante.
  - Tras la producción a partir de fructosa utilizando el método de la presente invención, puede purificarse psicosa mediante un método típico que puede ser fácilmente seleccionado por el experto en la materia, por ejemplo, a partir del grupo que consiste en centrifugación, filtración, cristalización, cromatografía de intercambio iónico y una combinación.

### Efectos ventajosos

5

15

20

25

35

50

Un sistema de expresión génica que expresa la psicosa epimerasa en una gran cantidad con un microorganismo GRAS tal como *Corynebacterium* sp., un vector y *Corynebacterium* sp. se proporcionan según la presente invención, y la psicosa epimerasa obtenida mediante la utilización del sistema de expresión génica puede producir psicosa a partir del sustrato que contiene fructosa.

## Breve descripción de los dibujos

La figura 1 es un mapa de escisión de un vector recombinante para la expresión de proteína psicosa 3epimerasa según una forma de realización de la presente invención.

La figura 2 es un dibujo que muestra la cantidad de proteína mediante la utilización de SDS-PAGE de lisado de células de *Corynebacterium* sp. cultivadas mediante la utilización de un molino de perlas.

Las figuras 3 a figura 5 muestran mapas de escisión de vectores recombinantes, que comprenden promotores que no son parte de la presente invención, para la expresión de proteína psicosa 3-epimerasa en células de *Corynebacterium* sp., es decir, un vector recombinante (pCES\_tac1CDPE) en la figura 3, un vector recombinante (pCES\_tac2CDPE) en la figura 4, un vector recombinante (pCES\_TrcCDPE) en la figura 5.

La figura 6 es un dibujo que muestra la comparación de las cantidades de proteínas expresadas obtenidas mediante lisis de las células en cultivo con un molino de perlas y el análisis mediante SDS-PAGE.

La figura 7 es un gráfico que compara la velocidad inicial de reacción celular en la tasa de conversión lineal de psicosa.

La figura 8 es un gráfico que compara la estabilidad térmica a 50°C en la reacción celular de células que expresan CDPE.

#### 30 Modo de invención

Puede obtenerse una mejor comprensión de la presente invención mediante los ejemplos siguientes.

## Ejemplo 1. Producción de plásmido SOD

## Ejemplo 1-1: producción de vector con promotor sod

La secuencia de nucleótidos (gen CDPE, GenBank: EDS06411.1) codificante de psicosa epimerasa derivada de *Clostridium scindens* ATCC 35704 se optimizó para *E. coli* a fin de producir una secuencia de nucleótidos modificada, que se denominó CDPE. El polinucleótido optimizado (SEC ID nº 36, la secuencia reguladora *sod* (SEC ID nº 17: promotor sod-RBS-ESPACIADOR R11T-CONECTOR) derivado de ADNg de *Corynebacterium* y terminador T7 del vector pET21a se amplificó mediante el método de PCR para producir cada molde y se ligó a un molde siguiendo el método de PCR solapante. El molde se clonó en el vector pGEM T-easy según el método de clonación de vector T y se analizó para la secuencia. Específicamente, el polinucleótido incluía la secuencia reguladora *sod* de SEC ID nº 17, la secuencia codificante de CDPE optimizada para *E. coli* de SEC ID nº 36 y el terminador T7.

Se insertó el polinucleótido completo en el mismo sitio de reconocimiento de restricción de pCES208 (J. Microbiol. Biotechnol. 18:639-647, 2008) con los enzimas de restricción Notl y Xbal (NEB) para producir el vector recombinante de pCES208/psicosa epimerasa (pCES\_sodCDPE). El mapa de escisión del vector recombinante (pCES sodCDPE) se muestra en la figura 1.

## Ejemplo 1-2: producción de vector con mutagénesis de saturación

Con el fin de preparar un vector utilizando la mutagénesis de saturación, se prepararon los cebadores incluyendo -NN- como un sitio diana. Específicamente, se decidió TT en el extremo 3' del primer RBS (GAAGGA) y el segundo RBS como sitio diana y se solicitó a Genotec que sintetizase el cebador. Las secuencias de cebador, el sitio de mutagénesis de saturación y el sitio de unión a cebador se resumen en la tabla 5.

60 [Tabla 5]

Nombre del cebador	secuencia (5' -> 3')	SEC ID nº
RBS1_F	GGTGCGGAAACCTACGAAAGGANNTTTTACCCATGGCTGTATACG AAC	45

Nombre del cebador	secuencia (5' -> 3')	SEC ID nº
RBS1_R	GTTCGTATACAGCCATGGGTAAAANNTCCTTTCGTAGGTTTCCGC ACC	46
RBS2_F	GACTACGCATACGACGAAAGGANNACAAAATGAAACACGGTATCT ACTAC	47
RBS2_R	GTAGTAGATACCGTGTTTCATTTTGTNNTCCTTTCGTCGTATGCGT   AGTC	48

El fragmento frontal y el fragmento trasero divididos por un sitio de referencia de -NN- se obtuvieron mediante PCR para producir un molde según el método de PCR solapante. Se insertó el molde en el plásmido pCES208 mediante ligación con los sitios Xbal y Notl, a fin de obtener el plásmido según la mutagénesis de saturación.

## Ejemplo 2. Transformación y cribado de E. coli transformado

### Ejemplo 2-1: transformación de E. coli

5

35

40

Se transformó la cepa *E. coli* Dh10b con el plásmido obtenido en el ejemplo 1 mediante electroforesis y se cribó. Específicamente, se vertió canamicina en un tubo de 1.5 ml hasta una concentración final de canamicina de 15 μg/ml y se añadió 1 ml de LB (triptona 10 mg/l, NaCl 10 mg/l, extracto de levadura 5 mg/l). Las colonias seleccionadas aleatoriamente se inocularon en la placa y se cultivaron a 37°C durante aproximadamente 16 horas. A continuación, se recolectó la célula para eliminar el medio de cultivo, se hizo reaccionar con fructosa al 50% (sustrato) disuelta en tampón PIPES 50 mM (pH 7.0) mediante la adición de Mn²+ 1 mM a 60°C durante 30 minutos y se desactivó a 100°C durante 5 minutos.

#### Ejemplo 2-2: cribado con tasa de conversión de psicosa

- 20 El producto del ejemplo 2-1 se analizó mediante análisis de CL para comparar la tasa de conversión de la psicosa con la de pCES\_sodCDPE. A continuación, se seleccionó el transformante con el gen modificado con la tasa de conversión más elevada. Específicamente, se obtuvo la tasa de conversión mediante el análisis del pico de CL del sustrato (fructosa) y del producto (psicosa) y la superficie del pico.
- La comparación de la superficie del pico de CL confirmó el grado decreciente de producción de psicosa y el consumo de sustrato. Se obtuvieron las curvas patrón mediante la preparación de las muestras con diferentes concentraciones de fructosa, de 10, 20, 50, 100, 120, 150 mM y las muestras con diferente concentración de psicosa, de 1, 2, 5, 10, 20, 50 mM, con R² de 0.99 o superior. A continuación, se infirió cada fórmula a partir de las curvas patrón y se obtuvo la concentración de fructosa y la concentración de psicosa mediante la utilización de la superficie del pico de CL.

Los valores finales se indicaron como la tasa de conversión de psicosa, que era proporcional a la cantidad de CDPE expresado. De esta manera, a medida que se incrementa la cantidad de psicosa producida, se incrementa la cantidad de CDPE expresado.

En consecuencia, se seleccionaron 6 mutantes, incluyendo tres mutantes en el sitio R1 y 3 mutantes en el sitio R2, y se denominaron R1-1, R1-4, R1-8, R2-1, R2-5 y R2-11. En comparación con el resultado del análisis de CL del control que incluía secuencias no modificadas (pCES\_sod CDPE), se seleccionaron cuatro mutantes basándose en la tasa de conversión de psicosa y se muestran en la tabla 6.

[Tabla 6]

Muestra	Tasa de conversión de psicosa (%)
sod_CDPE	5.15
R1-1	8.59
R1-4	8.94
R2-5	5.66
R2-11	6.07

Tal como se muestra en la tabla 6, los mutantes finalmente seleccionados que mostraban una tasa de conversión incrementada de psicosa eran R1-1 y R1-R en el sitio R1 y R2-5 y R2-11 en el sitio R2 y, de esta manera, 4 mutantes mostraron una expresión incrementada de CDPE.

## Ejemplo 2-3: identificación de secuencia modificada

50 Basándose en la secuencia de nucleótidos de SEC ID nº 3, en el pCES\_sodCDPE no modificado, R1-1 presentaba

la sustitución de GA y R1-4 presentaba la sustitución de GG en TT del sitio diana de control.

Basándose en la secuencia de nucleótidos de SEC ID  $n^{\circ}$  7 en pCES\_sodCDPE no mutado, R2-5 y R2-11 presentaba GG sustituido en TT del sitio diana de control.

### Ejemplo 3. Medición de la tasa de expresión de CDPE en Corynebacterium

5

10

15

20

25

30

Se transformó *Corynebacterium glutaricum* con 4 mutantes obtenidos en el ejemplo 2, respectivamente, y se obtuvieron mediante su cultivo en 100 ml de medio LB. Se lisaron las células y se purificaron mediante la utilización del método de purificación de etiqueta de His. A continuación, se llevó a cabo el SDS-PAGE del lisado celular a fin de identificar la tasa de conversión de CDPE.

Específicamente, las células cultivadas se lisaron con un molino de perlas y se recogió el sobrenadante, se mezcló con tampón para muestras en proporción 1:1 y se calentó a  $100^{\circ}$ C durante 5 minutos. La muestra preparada se analizó mediante electroforesis mediante la utilización de gel de SDS-PAGE al 12% (composición: gel de migración - 3.3 ml de  $H_2O$ , 4.0 ml de acrilamida al 30%, 2.5 ml de tampón Tris 1.5 M (pH 8.8),  $100 \, \mu$ l de SDS al 10%,  $100 \, \mu$ l de APS al 10%, 4  $\mu$ l de TEMED / gel de carga - 1.4 ml  $H_2O$ , 0.33 ml de acrilamida al 10%,  $100 \, \mu$ l de SDS al 10%,  $100 \, \mu$ l de SDS al 10%,  $100 \, \mu$ l de APS al 10%,  $100 \, \mu$ l de TEMED) a  $100 \, \mu$ l de SDS al 10%,  $100 \, \mu$ l de APS al 10%,  $100 \, \mu$ l de TEMED) a  $100 \, \mu$ l de SDS al 10%,  $100 \, \mu$ l de APS al 10%,  $100 \, \mu$ l de TEMED) a  $100 \, \mu$ l de SDS al 10%,  $100 \, \mu$ l de APS al 10%,  $100 \, \mu$ l de TEMED) a  $100 \, \mu$ l de SDS al 10%,  $100 \, \mu$ l de APS al 10%,  $100 \, \mu$ l de TEMED) a  $100 \, \mu$ l de SDS al 10%,  $100 \, \mu$ l de APS al 10%,  $100 \, \mu$ l de TEMED) a  $100 \, \mu$ l de SDS al 10%,  $100 \, \mu$ l de APS al 10%,  $100 \, \mu$ l de TEMED) a  $100 \, \mu$ l de SDS al 10%,  $100 \, \mu$ l de SDS al 10%,  $100 \, \mu$ l de TEMED) a  $100 \, \mu$ l de SDS al 10%,  $100 \, \mu$ l de SDS al 10%,  $100 \, \mu$ l de TEMED) a  $100 \, \mu$ l de SDS al 10%,  $100 \, \mu$ l de TEMED a  $100 \, \mu$ l de SDS al 10%,  $100 \, \mu$ l de SDS al

Tras identificar la expresión de CDPE en el gel de SDS-PAGE, el producto se purificó según el método de purificación de etiqueta de His utilizando resina de Ni-NTA y se calculó la tasa de conversión de psicosa mediante la utilización de la fórmula de tasa de conversión (%)=(proteína purificada (mg) / proteínas solubles totales (mg)) \* 100). La tasa de conversión calculada se indica en la tabla 7.

En la tabla 7 a continuación, proteínas celulares completas se refieren a todas las proteínas dentro de la célula que expresa la psicosa epimerasa celular y la cantidad de psicosa epimerasa se refiere a la cantidad de psicosa epimerasa purificada. Por lo tanto, la tasa de conversión se refiere al valor calculado que muestra la proporción de proteína diana expresada respecto a las proteínas celulares totales.

#### [Tabla 7]

Muestra	Tasa de conversión de CDPE (%)
Sod_CDPE	10
R1-1	15
R1-4	9.5
R2-5	8.3
R2-11	8.5

Tal como se muestra en la tabla 7, la concentración de CDEP purificada de R1-1 era aproximadamente 1.5 veces más alta que en el transformante con el vector recombinante (pCES\_sodCDPE). Por otra parte, otras muestras mostraron una tasa de conversión baja.

### Ejemplo 4. Producción de psicosa mediante la utilización de reacción enzimática

- 40 Se transformó *Corynebacterium glutaricum* con 4 mutantes: R1-1, R1-4, R2-5 y R2-11 obtenidos en el ejemplo 2, respectivamente, y se obtuvieron mediante su cultivo en 100 ml de medio LB. El enzima en bruto no purificado se utilizó para convertir sustrato que contenía fructosa 50 mM en psicosa. A continuación, se analizó la cantidad de psicosa producida.
- Las células mutantes que expresaban CDPE se rompieron. Se obtuvo sobrenadante que incluía la proteína, de concentración 0.007 mg/ml de proteínas celulares completas, y se añadió al sustrato que contenía fructosa 50 mM con adición de Mn²+ 1 mM. A continuación, se llevó a cabo la reacción a pH 7.0, PIPES 50 mM y a 60°C durante 5, 10 o 15 minutos, y después se desactivó con calentamiento a 100°C durante 5 minutos.
- 50 Se comparó la tasa de conversión de psicosa mediante análisis de CL. Específicamente, se obtuvo la tasa de conversión mediante el análisis del pico de CL del sustrato (fructosa) y del producto (psicosa) y la superficie del pico.
- El análisis de CL se llevó a cabo mediante la utilización del detector de índice de refracción (Agilent 1260 RID) de HPLC (Agilent, EE.UU.) dotado de una columna Aminex HPX-87C (BIO-RAD), agua a 80°C como fase móvil y caudal de columna de 0.6 ml/min. A continuación, se calculó la tasa de conversión de psicosa basándose en la fórmula de tasa de conversión mediante la utilización de la cantidad de psicosa producida y fructosa no consumida medida a partir del pico de CL. Los valores calculados se muestran en la tabla 8.

### [Fórmula]

5

25

30

35

Tasa de conversión (%) = cantidad de psicosa producida (g/I) / (cantidad de psicosa producida + cantidad de fructosa remanente) (g/I) \* 100

[Tabla 8]

Muestra	Tasa de conversión de psicosa (%) en la		
reacción durante 5 minutos			
Sod-CDPE	15.66		
R1-1	17.24		
R1-4	14.39		
R2-5	14.10		
R2-11	13.65		

Tal como se muestra en la tabla 5, la tasa de conversión de R1-1 era más alta que sod-CDPEII. Otras secuencias modificadas mostraban una cierta reducción de la tasa de conversión en comparación con sod-CDPE.

### Ejemplo 5. Producción de psicosa mediante la utilización de la reacción de células de Corynebacterium

Se transformó *Corynebacterium glutaricum* con 4 mutantes: R1-1, R1-4, R2-5 y R2-11 obtenidos en el ejemplo 2, respectivamente, y se obtuvieron mediante su cultivo en 100 ml de medio LB. El sustrato que contenía 50% en peso de fructosa se hizo reaccionar mediante la utilización de la reacción celular y se comparó la tasa de conversión.

Específicamente, se añadieron 0.5 a 2 mg/ml de células mutantes que expresaban CDPE al sustrato que contenía fructosa en un contenido de sólidos de 50% en peso y Mn<sup>2+</sup> 1 mM, se hicieron reaccionar a pH 7.0, PIPES 50 mM y a 60°C y se desactivaron mediante calentamiento a 100°C durante 5 minutos.

La reacción de conversión se llevó a cabo mediante la utilización de cada célula mutante y se calculó la tasa de conversión según el método de análisis de CL. El análisis de CL se llevó a cabo mediante la utilización del detector de índice de refracción (Agilent 1260 RID) de HPLC (Agilent, EE.UU.) dotado de una columna Aminex HPX-87C (BIO-RAD), agua a 80°C como fase móvil y caudal de columna de 0.6 ml/min. A continuación, se calculó la tasa de conversión de psicosa basándose en la fórmula de tasa de conversión mediante la utilización de la cantidad de psicosa producida y fructosa no consumida medida a partir del pico de CL. Los valores calculados se muestran en la tabla 9.

#### [Fórmula]

Tasa de conversión (%) = cantidad de psicosa producida (g/l) / (cantidad de psicosa producida + cantidad de fructosa no consumida) (g/l) \* 100

[Tak

[Tabla 9]

Muestra	Tasa de conversión de psicosa (%)
Sod-CDPEII	6.02
R1-1	8.34
R1-4	5.99
R2-5	4.79
R2-11	5 29

40 Tal como se muestra en la tabla 9, la tasa de conversión de R1-1 mutante era más alta que sod-CDPEII. Otras secuencias modificadas mostraban una cierta reducción de la tasa de conversión en comparación con sod-CDPE.

#### Ejemplo 6: comparación de la estabilidad térmica en la reacción de células de Corynebacterium

45 Aparte de la elevada tasa de conversión de la célula, la célula que convierte la psicosa epimerasa establemente asimismo resulta importante en el campo industrial. Por lo tanto, el presente experimento se llevó a cabo para confirmar la estabilidad térmica de la célula.

Con el fin de confirmar la estabilidad térmica de la célula a 50°C, se resuspendieron 1,0 mg/ml de células pretratadas con surfactante, en tampón PIPES 50 mM (pH 7.0) y se calentaron a 50°C. Las células se muestrearon cada hora de calentamiento y se utilizaron para la reacción de conversión en la que se añadieron las células muestreadas al sustrato que contenía fructosa al 50% y Mn²+ 1 mM y se hicieron reaccionar a 50°C durante 60

minutos.

5

10

20

25

La tasa de conversión de psicosa y la medida decreciente de las células muestreadas se muestran en la tabla 10 mediante la referencia al cero de tasa de conversión y el cero de tiempo de calentamiento.

[Tabla 10]

Minutos de	Tasa de conversión de	Estabilidad térmica	Tasa de conversión	Estabilidad
reacción	psicosa (%) de	relativa de	de psicosa (%) de	térmica relativa
	pCES_sodCDPE	pCES_sodCDPE	R1-1	de R1-1
0	8.4	100	11.62	100
120	7.5	89.21	10.77	92.7
240	7.27	86.56	9.56	82.27
360	7.02	83.52	9.03	77.74
540	6.81	81.05	9.19	79.1
840	6.54	77.88	8.9	76.6
1020	6.52	77.65	8.4	72.31
1200	6.15	73.17	7.32	62.98
1320	5.94	70.64	8.04	69.24
1560	5.92	70.42	8.15	70.14
1680	5.71	67.92	7.75	66.75
1740	5.24	62.32	6.82	58.73

Tal como se muestra en la tabla 10, la estabilidad térmica de R-1 no era diferente de pCES\_sodCDPE y, de esta manera, R1-1 mutante presentaba una buena estabilidad térmica. La semivida de R-11 se esperaba que fuese de aproximadamente 1800 minutos.

## Ejemplo 7: producción de secuencia reguladora modificada y expresión de CDPE

### 15 Ejemplo 7-1: producción de vector que incluye una secuencia reguladora modificada

TT en el extremo 3' del primer RBS (GAAGGA) y del segundo RBS se decidió que sería el sitio diana y se solicitó a Genotec que sintetizase el cebador -NN- a fin de sustituir TT por GT, GC o GG. Las secuencias de cebador, el sitio de mutagénesis de saturación y el sitio de unión a cebador se resumen en la tabla 11.

[Tabla 11]

Cebador	secuencia (5' -> 3')	SEC ID nº
RBS1GT_F	GGTGCGGAAACCTACGAAAGGAGTTTTTACCCATGGCTGTATAC GAAC	49
RBS1GT_R	GTTCGTATACAGCCATGGGTAAAAACTCCTTTCGTAGGTTTCCGC ACC	50
RBS1GC_F	GGTGCGGAAACCTACGAAAGGAGCTTTTACCCATGGCTGTATAC GAAC	51
RBS1GC_R	GTTCGTATACAGCCATGGGTAAAAGCTCCTTTCGTAGGTTTCCGC	52
	ACC	
RBS1GG_F	GGTGCGGAAACCTACGAAAGGAGGTTTTACCCATGGCTGTATAC GAAC	53
RBS1GG_R	GTTCGTATACAGCCATGGGTAAAACCTCCTTTCGTAGGTTTCCGC ACC	54

El fragmento frontal y el fragmento trasero divididos por un sitio de referencia de -NN- se obtuvieron mediante PCR para producir un molde según el método de PCR solapante. Se insertó el molde en el plásmido pCES208 mediante ligación con los sitios Xbal y Notl, a fin de obtener el plásmido según la mutagénesis de saturación.

## Ejemplo 7-2: medición de la tasa de expresión de CDPE

- 30 Se transformó *Corynebacterium glutarium* con el plásmido que incluía la secuencia mutada obtenida en el ejemplo 7-2, se cultivó en 100 ml de medio LB y se lisó y se purificó según el método de purificación de etiqueta de His utilizando una resina de Ni-NTA. Se midió la concentración de proteínas celulares completas y de la proteína purificada (CDPE) según el ensayo de Bradford y se calculó la tasa de conversión de la proteína diana.
- 35 Específicamente, las células cultivadas se lisaron con un molino de perlas y se recogió el sobrenadante, se mezcló

con tampón para muestras en proporción 1:1 y se calentó a  $100^{\circ}$ C durante 5 minutos. La muestra preparada se analizó mediante electroforesis mediante la utilización de gel de SDS-PAGE al 12% (composición: gel de migración - 3.3 ml de  $H_2O$ , 4.0 ml de acrilamida al 30%, 2.5 ml de tampón Tris 1.5 M (pH 8.8), 100 µl de SDS al 10%, 100 µl de APS al 10%, 100 µl de TEMED / gel de carga - 1.4 ml 100, 100 µl de Carga - 1.4 ml 100, 100 µl de TEMED) al 100, 100 µl de SDS al 100, 100 µl de APS al 100, 100 µl de TEMED) al 1000 v durante 1000 minutos a fin de identificar la expresión de las proteínas. La figura 1000 en dibujo que muestra la cantidad de proteínas mediante la utilización de SDS-PAGE de lisado de un cultivo celular de *Corynebacterium* sp. mediante la utilización de un molino de perlas.

Tras identificar la expresión de CDPE en el gel de SDS-PAGE, el producto se purificó según el método de purificación de etiqueta de His utilizando resina de Ni-NTA y se calculó la tasa de conversión de psicosa mediante la utilización de la fórmula de tasa de conversión (%)=(proteína purificada (mg) / proteínas solubles totales (mg)) \* 100). La tasa de conversión calculada se indica en la tabla 12.

15 [Tabla 12]

5

20

25

35

Plásmido	Proteínas celulares	Enzima psicosa	Tasa de conversión
	completas (mg)	epimerasa (mg)	(%)
pCES_sodCII	10.7	1.1	10.3
R1GA	11.5	1.7	14.8
R1GT	10.9	1.6	14.7
R1GC	8.2	0.8	9.8
R1GG	10.8	0.7	6.5

Tal como se muestra en la tabla 12, las tasas de conversión de R1-GA y R1GT eran más alta que pCES\_sodCDPE. R1GC mostraba una actividad enzimática similar y R1GG mostraba una actividad enzimática reducida.

### Ejemplo 7-3: producción de psicosa con la reacción celular

Según un método sustancialmente igual al del ejemplo 5, se transformó la cepa de *Corynebacterium* con mutantes cultivados en 100 ml de medio LB, respectivamente, y se añadieron a la reacción de conversión de psicosa para comparar la tasa de conversión de psicosa. Se muestran los resultados en la tabla 13.

[Tabla 13]

Muestra	Tasa de conversión de psicosa (%)	Tasa de conversión relativa (%)
R1GG	4.58	100
R1TT	6.73	147
R1GA	9.76	213
R1GT	9.17	200
R1GC	7.39	161

Tal como se muestra en la tabla 13, en referencia a 100 de tasa de conversión de psicosa de R1GG, la tasa de conversión relativa de R1GA era de 213, la de R1GT era de 200, la de R1GC era de 161 y la de R1TT era de 147. Por lo tanto, todos los mutantes mostraron una tasa de conversión incrementada.

## 7-4: comparación de la estabilidad térmica en la reacción celular

Aparte de la elevada tasa de conversión de las células, las células que convierten la psicosa epimerasa establemente asimismo resultan importantes en el campo industrial. Por lo tanto, el presente experimento se llevó a cabo para confirmar la estabilidad térmica de la célula.

- 40 Con el fin de confirmar la estabilidad térmica de la célula a 50°C, se resuspendieron 1.0 mg/ml de células pretratadas con surfactante, en tampón PIPES 50 mM (pH 7.0) y se calentaron a 50°C. Las células se muestrearon cada hora de calentamiento y se utilizaron para la reacción de conversión en la que se añadieron las células muestreadas al sustrato que contenía fructosa al 50% y Mn²+ 1 mM y se hicieron reaccionar a 50°C durante 60 minutos.
- La tasa de conversión de psicosa y la medida decreciente de las células muestreadas se muestran en la tabla 14 mediante referencia al cero de tasa de conversión y al cero de tiempo de calentamiento.

[Tabla 14]

Minutos de reacción	pCES_sodCII	R1GA	R1GT	R1GC	R1GG
0	100	100	100	100	100
240	86.6	82.3	83.9	91	83.8

Minutos de reacción	pCES_sodCII	R1GA	R1GT	R1GC	R1GG
360	83.5	77.7	74.1	84.8	79.2
840	77.9	76.6	72.3	84.7	78.1
1200	73.2	75.8	73.2	81.9	64.2
1560	70.4	70.1	66.9	77.6	62.3
1680	67.9	66.7	65.2	73.8	56.1
1740	62.3	58.7	56.2	52.4	55.3

Ejemplo 8: producción de secuencia reguladora modificada y expresión de CDPE

## 8-1: producción de vector que incluye una secuencia reguladora modificada

Como resultado de la secuencia modificada según la mutagénesis de saturación, TT situado en el primer espaciador después del primer RBS afectó a la expresión de CDPE. De esta manera, TT situado en el primer espaciado después del primer RBS se sustituyó por GT, GC o GG; se sometió a ensayo para la expresión de CDPE y se seleccionó como R1-1/GA en sustitución de TT después del primer RBS). Se utilizó la secuencia de nucleótidos de R1-1 como molde para sustituir TT después del segundo RBS por GA, GT, GC o GG. Los mutantes se sometieron a ensayo para la tasa de conversión de psicosa.

Se produjeron los dobles mutantes mediante la utilización del mutante (R1-1) obtenido en el ejemplo 5 como molde y el cebador siguiente en la tabla 15.

[Tabla 15]

Cebador	secuencia (5' -> 3')	SEC ID nº
RBS1GA/RBS2GA_F	GACTACGCATACGACGAAAGGAGAACAAAATGAA ACACGGTATCTACTAC	55
RBS1GA/RBS2GA_R	GTAGTAGATACCGTGTTTCATTTTGTTCTCCTTTC GTCGTATGCGTAGTC	56
RBS1GA/RBS2GT_F	GACTACGCATACGACGAAAGGAGTACAAAATGAA ACACGGTATCTACTAC	57
RBS1GA/RBS2GT_R	GTAGTAGATACCGTGTTTCATTTTGTACTCCTTTC	58
	GTCGTATGCGTAGTC	
RBS1GA/RBS2GC_F	GACTACGCATACGACGAAAGGAGCACAAAATGAA ACACGGTATCTACTAC	59
RBS1GA/RBS2GC_R	GTAGTAGATACCGTGTTTCATTTTGTGCTCCTTTC GTCGTATGCGTAGTC	60
RBS1GA/RBS2GG_F	GACTACGCATACGACGAAAGGAGGACAAAATGAA ACACGGTATCTACTAC	61
RBS1GA/RBS2GG_R	GTAGTAGATACCGTGTTTCATTTTGTCCTCCTTTC GTCGTATGCGTAGTC	62

## 8-2: medición de la tasa de expresión de CDPE

Según el mismo método del ejemplo 7-2, se transformó *Corynebacterium glutaricum* con el plásmido que incluía la secuencia reguladora modificada. Se determinó la tasa de conversión de CDPE y se indica en la tabla 16.

Tal como se muestra en la tabla 13, proteínas celulares completas se refieren a todas las proteínas dentro de la célula que expresan psicosa epimerasa celular y la cantidad de psicosa epimerasa se refiere a la cantidad de psicosa epimerasa purificada. Por lo tanto, la tasa de conversión se refiere al valor calculado que muestra la proporción de proteína diana expresada respecto a las proteínas celulares totales.

[Tabla 16]

microorganismo	proteínas celulares	enzima psicosa	tasa de
	completas (mg)	epimerasa (mg)	conversión (%)
pCES_sodCII	10.7	1.1	10.3
R1GA/R2GA	10.3	1.5	14.5
R1GA/R2GT	10.7	1.6	15.0
R1GA/R2GC	12.8	1.8	14.1
R1GA/R2GG	11.9	1.7	14.3

Tal como se muestra en la tabla 16, las dobles mutaciones de R1GA/R2GA, R1GA/R2GT, R1GA/R2GC y

19

30

20

25

5

10

R1GA/R2GG muestran una tasa de conversión incrementada de CDPE respecto a la de pCES sodCDPE.

### 8-3: producción de psicosa mediante la utilización de la reacción celular

- 5 Según el mismo método del ejemplo 8-2, se transformó *Corynebacterium glutaricum* con el plásmido que incluía la secuencia reguladora modificada, y se cultivó en 100 ml de medio LB. Se determinó la tasa de conversión de CDPE mediante la reacción celular y se indica en la tabla 17.
- Con el fin de identificar el producto, se obtuvo la tasa de conversión mediante el análisis del pico de CL del sustrato (fructosa) y del producto (psicosa) y la superficie del pico. Como resultado, se analizó la tasa de producción inicial de psicosa (unidades/g-DCW) mediante la utilización de diversas soluciones de surfactante y se indican en la tabla 17.

El análisis de CL se llevó a cabo mediante la utilización del detector de índice de refracción (Agilent 1260 RID) de HPLC (Agilent, EE.UU.) dotado de una columna Aminex HPX-87C (BIO-RAD), agua a 80°C como fase móvil y un caudal de columna de 0.6 ml/min.

[Tabla 17]

Muestra	Tasa de conversión de psicosa (%)	Tasa de conversión relativa (%)	
R1GG	4.58	100	
R1GA/R2GC	9.95	217	

Tal como se muestra en la tabla 17, la tasa de conversión relativa (%) de la doble mutación R1GA/R2GC mostró un valor de 217 respecto a la base de 100 de la tasa de conversión de psicosa de R1GG.

### 8-4: comparación de la estabilidad térmica en la reacción celular

- Aparte de la elevada tasa de conversión de la célula, las células que convierten la psicosa epimerasa establemente asimismo resultan importantes en el campo industrial. Por lo tanto, el presente experimento se llevó a cabo para confirmar la estabilidad térmica de la célula.
- Con el fin de confirmar la estabilidad térmica de las células a 50°C, se resuspendieron 1.0 mg/ml de células pretratadas con surfactante, en tampón PIPES 50 mM (pH 7.0) y se calentaron a 50°C. Las células se muestrearon cada hora de calentamiento y se utilizaron para la reacción de conversión en la que se añadieron las células muestreadas a sustrato que contenía fructosa al 50% y Mn²+ 1 mM y se hicieron reaccionar a 50°C durante 60 minutos.
- La tasa de conversión de psicosa y la medida decreciente de las células muestreadas se muestran en la tabla 18 mediante referencia al cero de tasa de conversión y al cero de tiempo de calentamiento.

[Tabla 18]

Tiempos de	pCES_sodCII	R1GA/R2GA	R1GA/R2GT	R1GA/R2GC	R1GA/R2GG
reacción (minutos)					
0	100	100	100	100	100
240	86.6	86.9	90.8	90.4	88.5
360	83.5	90	81.5	92.2	83.6
840	77.9	80.9	68.4	77.4	82.4
1200	73.2	77.3	64.6	73.6	72.2
1560	70.4	74.1	62.7	70.8	75.4
1680	67.9	70.5	59.6	67.4	71.8
1740	62.3	66.4	56.9	61.7	63.2

Tal como se muestra en la tabla 18, mediante comparación de la estabilidad térmica de pCES\_sodCDPE y doble mutación, la estabilidad térmica de la doble mutación no era diferente de la de pCES\_sodCDPE y, de esta manera, el doble mutante presenta una buena estabilidad térmica. De acuerdo con lo anterior, la secuencia reguladora modificada afecta a la expresión de CDPE pero no influye sobre la estabilidad térmica.

## Ejemplo 9. Producción de plásmido

## Ejemplo 9-1: preparación de vector con promotor sod

50 La secuencia de nucleótidos (gen CDPE, GenBank: EDS06411.1) codificante de psicosa epimerasa derivada de *Clostridiuim scindens* ATCC 35704 se optimizó para *E. coli* a fin de producir una secuencia de nucleótidos modificada, que se denominó CDPE. El polinucleótido optimizado (SEC ID nº 38, la secuencia reguladora *sod* 

45

40

(SEC ID nº 17: promotor sod-RBS-ESPACIADOR R11T-CONECTOR) derivado de ADNg de *Corynebacterium* y terminador T7 del vector pET21a se amplificó mediante el método de PCR para producir cada molde y se ligó a un molde siguiendo el método de PCR solapante. El molde se clonó en el vector pGEM T-easy según el método de clonación de vector T y se analizó para la secuencia. Específicamente, el polinucleótido incluía el promotor sod de SEC ID nº 6, la secuencia codificante de CDPE optimizada para *E. coli* de SEC ID nº 38 y el terminador T7.

Se insertó el polinucleótido completo en el mismo sitio de reconocimiento de restricción de pCES208 (J. Microbiol. Biotechnol. 18:639-647, 2008) con los enzimas de restricción Notl y Xbal (NEB) para producir el vector recombinante de pCES208/psicosa epimerasa (pCES\_sodCDPE). El mapa de escisión del vector recombinante (pCES\_sodCDPE) se muestra en la figura 1.

#### Ejemplo 9-2: preparación de vector con promotor tac1

5

10

15

20

30

35

40

45

50

55

60

65

Con el fin de comparar la actividad y la expresión de la proteína de interés, así como pCES\_sodCDPEII, se preparó el plásmido:

el polinucleótido de CDPE (SEC ID nº 38) derivado de pET21a\_CDPE mediante la utilización de PCR se introdujo en los sitios Xmal e HindIII de pKK223-3 para obtener pKK\_CDPE. Se obtuvo el polinucleótido que incluía el promotor *tac1* (SEC ID nº 69) hasta el terminador rrn de pKK\_CDPE, a modo de molde mediante la utilización de PCR, y se insertó en los sitios Notl y Xbal de pCES208 para producir vector recombinante (pCES\_tac1CDPE). El mapa de escisión del vector recombinante (pCES\_tac1CDPE) se muestra en la figura 3.

### Ejemplo 9-3: preparación de vector con promotor tac2

El polinucleótido de CDPE (SEC ID nº 38) derivado de pET21a\_CDPE mediante la utilización de PCR se introdujo en los sitios Ncoi y Sall de pKD, obteniendo pKD\_CDPE. Se obtuvo el polinucleótido que incluía el promotor *tac2* (SEC ID nº 72) hasta el terminador rrn de pKK\_CDPE, a modo de molde mediante la utilización de PCR, y se insertó en el sitio Xbal de pCES208 para producir vector recombinante (pCES\_tac2CDPE). El mapa de escisión del vector recombinante (pCES tac2CDPE) se muestra en la figura 4.

#### Ejemplo 9-4: preparación de vector con promotor Trc

El polinucleótido de CDPE (SEC ID nº 38) derivado de pET21a\_CDPE mediante la utilización de PCR se introdujo en los sitios Xmal e HindIII de pTrc99a, obteniendo pTrc\_CDPE. Se obtuvo el polinucleótido que incluía el promotor *Trc* (SEC ID nº 73) hasta el terminador rrnB de pTrc\_CDPE, a modo de molde mediante la utilización de PCR, y se insertó en el sitio Xbal de pCES208 para producir vector recombinante (pCES\_TrcCDPE). El mapa de escisión del vector recombinante (pCES\_TrcCDPE) se muestra en la figura 5.

## Ejemplo 10. Transformación de células hospedadoras

Se transformó *Corynebacterim glutaricum* con cuatro tipos de plásmido, obtenidos en el EJEMPLO 9 mediante electroforesis, respectivamente. Específicamente, se vertió canamicina en un tubo de 1.5 ml hasta una concentración final de canamicina de 15 μg/ml y se añadieron 4 ml de medio LB (triptona 10 g/l, NaCl 10 g/l y extracto de levadura 5 g/l). Las colonias seleccionadas aleatoriamente se inocularon en la placa y se cultivaron a 30°C durante aproximadamente 16 horas a 250 rpm. A continuación, se incubó 1 ml del cultivo celular en 100 ml de medio LB que incluía 15 μg/ml de canamicina durante 16 horas. Específicamente, *Corynebacterium glutaricum* transformado con vector recombinante (pCES\_sodCDPE) del ejemplo 9-1 se depositó en el Korea Culture Center of Microorganisms (KCCM), situado en 25, Honggehae-2-Gil, Seodaemun-Gu, Seoul-Si, República de Corea, el 29 de octubre de 2014, y recibió el número de acceso KCCM11593P

#### Ejemplo 11. Ensayo de expresión de proteínas

Las células en cultivo se lisaron mediante la utilización de un molino de perlas y se obtuvo el sobrenadante. El sobrenadante se mezcló con tampón para muestras en una proporción de mezcla de 1: 1 y se calentó a  $100^{\circ}$ C durante 5 minutos a fin de obtener la muestra. La muestra preparada se analizó mediante electroforesis con gel de SDS-PAGE al 12% (composición: gel de migración - 3.3 ml de  $H_2O$ , 4.0 ml de acrilamida al 30%, 2.5 ml de tampón Tris 1.5 M (pH 8.8),  $100 \, \mu$ l de SDS al 10%,  $100 \, \mu$ l de APS al 10%,  $100 \, \mu$ l de TEMED / gel de carga - 1.4 ml de 10%,  $100 \, \mu$ l de TEMED) mediante la utilización de electroforesis a 10% durante 50 minutos a fin de identificar la expresión de las proteínas. Se muestra el resultado del análisis electroforético en la figura 6.

Tras el ensayo de la expresión de CDPE en el gel de SDS-PAGE, la proteína se purificó mediante la utilización de purificación de etiqueta de His con resina de Ni-NTA y se calculó la tasa de expresión mediante la utilización de la fórmula (tasa de expresión (%)=(proteína purificada (mg) / proteínas solubles totales (mg)) \* 100) y se muestra en la tabla 19. En la tabla 19, las proteínas totales en la cepa se refieren a las proteínas totales dentro de la cepa de *Corynebacterium* que expresan la psicosa epimerasa; la psicosa epimerasa se obtuvo mediante purificación a

partir de las proteínas totales. De acuerdo con lo anterior, la tasa de expresión se refiere a la proporción de expresión de proteína diana a proteínas totales de la cepa de *Corynebacterium*.

[Tabla 19]

_	

Promotor	Proteínas completas en cepa (mg)	Psicosa epimerasa (mg)	Tasa de expresión (%)
Tac	21.43	6.28	29.3
Tac2	15	2.36	15.73
Trc	17.74	1.68	9.47
SOD	16.62	1.74	10.47

### Ejemplo 12. Producción de psicosa mediante la utilización de la reacción celular

Las células mutantes que expresaban CDPE obtenidas en el ejemplo 2 se añadieron al sustrato que contenía fructosa 50 mm con adición de Mn²+ 1 mM a una concentración de 0.5 a 2 mg/ml, se hicieron reaccionar a pH 7.0, PIPES 50 mM a 60°C, y después se desactivaron con calentamiento a 100°C durante 5 minutos. Cada cepa se hizo reaccionar bajo la misma condición de reacción y se muestreó en cada tiempo de reacción, a fin de calcular la velocidad de reacción celular inicial y la cantidad de psicosa producida para cada cepa recombinante. En la región lineal de la tasa de conversión de psicosa, se calculó la velocidad de reacción celular inicial por unidad celular (fórmula: velocidad de reacción celular inicial por unidad celular=cantidad de psicosa producida (g/l) / tiempo (min) / cantidad de células utilizad apara la reacción (g)), mostrando el resultado en la tabla 3 y en la figura 7.

Para confirmar el producto, el sustrato (fructosa) y el producto (psicosa) se analizaron cuantitativamente mediante HPLC para identificar el pico y la superficie del pico. Como resultado, se analizaron las tasas iniciales de reacción (unidades/g-DCW) de producción de psicosa según las diversas soluciones de surfactante y se muestran en la tabla 3. El análisis de HPLC se llevó a cabo con un HPLC (Agilent, EE.UU.) dotado de un detector de índice de refracción (Agilent 1260 RID) y una columna Aminex HPX-87C (BIO-RAD). La fase móvil era agua a 80°C, con un caudal de 0.6 ml/min.

Se compararon los resultados finales con la velocidad de reacción inicial. La velocidad de reacción inicial se refiere al valor obtenido mediante la división de la cantidad de producto y la cantidad de células utilizada para la reacción y el tiempo de reacción en el punto de la reacción en la región lineal de la velocidad de reacción. Es decir, a medida que se incrementa la velocidad de reacción inicial, la cantidad de psicosa producida respecto a la misma cantidad de células y el tiempo de reacción se incrementa.

30

35

20

[Tabla 20]

Muestra Psicosa (g/l)		Velocidad de reacción celular inicial
tacCDPE	59.12	3941
tac2CDPE	58.96	1965
trcCDPE	47.90	798
sodCDPE	65.28	1088

Tal como se muestra en la tabla 20, tacCDPE con la tasa de expresión más elevada mostró la actividad de reacción más elevada, y *tac2, sod* y *Trc* mostraron una velocidad de reacción celular reducida. De acuerdo con lo anterior, el resultado confirmó que la velocidad de reacción celular inicial era proporcional a la cantidad de CDPE expresada.

## Ejemplo 13: comparación de la estabilidad térmica en la reacción celular

40 Aunque es importante que la cepa presente una expresión elevada de psicosa, en el campo industrial es más importante que la cepa exprese establemente la psicosa epimerasa. De esta manera, se llevó a cabo el presente experimento para confirmar la estabilidad térmica de expresión de la psicosa epimerasa.

Con el fin de someter a ensayo la estabilidad térmica en la reacción celular a 50°C, la cepa recombinante que expresa CDPE obtenida en el ejemplo 2 se cultivó a 50°C y se calentó y después se utilizó para la reacción celular. Se midió la semivida de cada cepa (min) y se muestra en la tabla 21 y en la figura 8.

[Tabla 21]

Enzima producido	Semivida celular (minutos)
tacCDPE	1300
tac2CDPE	1260
trcCDPE	1500
sodCDPF	1800

Tal como se muestra en la tabla 21, las células recombinantes de tac/CDPE presentaba la tasa de expresión más alta, aunque la célula recombinante de sod/CDPE mostró la semivida más estable, de 1800 minutos. Aunque la actividad celular resulta importante para la producción de psicosa utilizando la reacción celular, la estabilidad térmica de las células resulta más importante desde el punto de vista económico, con la condición de que la actividad celular cumpla con el nivel óptimo. De esta manera, la cepa recombinante de sod/CDPE puede ser una cepa más preferente en el campo industrial.

```
<110> SAMYANG GENEX CORPORATION
     <120> Sistema de expresión de la psicosa epimerasa y producción de la psicosa que utiliza la misma
 5
     <130> OPP20153800KR
     <160> 75
     <170> KopatentIn 2.0
10
      <210> 1
      <211> 283
      <212> ADN
      <213> Secuencia artificial
15
      <220>
      <223> promotor
      <400> 1
      aagcgcctca tcagcggtaa ccatcacggg ttcgggtgcg aaaaaccatg ccataacagg
                                                                                        60
      aatgtteett tegaaaattg aggaageett atgeeettea accetaetta getgeeaatt
                                                                                       120
      attccgggct tgtgacccgc tacccgataa ataggtcggc tgaaaaattt cgttgcaata
                                                                                       180
                                                                                       240
      tcaacaaaaa ggcctatcat tgggaggtgt cgcaccaagt acttttgcga agcgccatct
                                                                                       283
      gacggatttt caaaagatgt atatgctcgg tgcggaaacc tac
20
      <210> 2
      <211>7
      <212> ADN
25
     <213> Secuencia artificial
      <220>
     <223> RBS
30
     <400> 2
     gaaagga 7
     <210>3
     <211> 10
     <212> ADN
35
     <213> Secuencia artificial
     <220>
     <223> primer espaciador R1TT
40
      <400>3
     ttttttaccc 10
     <210> 4
45
     <211> 10
      <212> ADN
     <213> Secuencia artificial
      <220>
50
     <223> primer espaciador RIGA
      <400> 4
     gattttaccc 10
55
     <210> 5
      <211> 10
      <212> ADN
      <213> Secuencia artificial
```

```
<220>
      <223> primer espaciador R1GT
      <400> 5
 5
      gtttttaccc 10
      <210>6
      <211> 10
      <212> ADN
10
      <213> Secuencia artificial
      <220>
      <223> primer espaciador R1GC
15
      <400>6
      gcttttaccc 10
      <210> 7
      <211>7
      <212> ADN
20
      <213> Secuencia artificial
      <220>
      <223> segundo espaciador R2TT
25
      <400> 7
      ttacaaa 7
      <210>8
30
      <211>7
      <212> ADN
      <213> Secuencia artificial
35
      <223> segundo espaciador R2GA
      <400> 8
      gaacaaa 7
40
      <210>9
      <211> 7
      <212> ADN
      <213> Secuencia artificial
45
      <223> segundo espaciador R2GT
      <400> 9
      gtacaaa 7
50
      <210> 10
      <211> 7
      <212> ADN
      <213> Secuencia artificial
55
      <220>
      <223> segundo espaciador R2GC
      <400> 10
60
      gcacaaa 7
      <210> 11
      <211> 7
      <212> ADN
65
      <213> Secuencia artificial
```

	<220> <223> segundo espaciador R2GG	
5	<400> 11 ggacaaa 7	
10	<210> 12 <211> 42 <212> ADN <213> Secuencia artificial	
	<220> <223> primer conector	
15	<400> 12 atggctgtat acgaactccc agaactcgac tacgcatacg ac 42	
20	<210> 13 <211> 300 <212> ADN <213> Secuencia artificial	
25	<220> <223> RBS1/primer espaciador-TT	
23	<400> 13 aagegeetea teageggtaa eeateaeggg ttegggtgeg aaaaaceatg ceataaeagg	60
	aatgttcctt tcgaaaattg aggaagcctt atgcccttca accctactta gctgccaatt	120
	attccgggct tgtgacccgc tacccgataa ataggtcggc tgaaaaattt cgttgcaata	180
	tcaacaaaaa ggcctatcat tgggaggtgt cgcaccaagt acttttgcga agcgccatct	240
	gacggatttt caaaagatgt atatgctcgg tgcggaaacc tacgaaagga ttttttaccc	300
30		300
30	<210> 14 <211> 300 <212> ADN <213> Secuencia artificial	
35	<220> <223> RBS1/primer espaciador-GA	
	<400> 14	
	aagcgcctca tcagcggtaa ccatcacggg ttcgggtgcg aaaaaccatg ccataacagg	60
	aatgtteett tegaaaattg aggaageett atgeeettea accetaetta getgeeaatt	120
	atteeggget tgtgaeeege taeeegataa ataggtegge tgaaaaattt egttgeaata	180
	tcaacaaaaa ggcctatcat tgggaggtgt cgcaccaagt acttttgcga agcgccatct	240
	gacggatttt caaaagatgt atatgctcgg tgcggaaacc tacgaaagga gattttaccc	300
40		300
	<210> 15 <211> 300 <212> ADN	
45	<213> Secuencia artificial	
	<220> <223> RBS1/primer espaciador-GT	

	<400> 15	
	aagcgcctca tcagcggtaa ccatcacggg ttcgggtgcg aaaaaccatg ccataacagg	60
	aatgttcctt tcgaaaattg aggaagcctt atgcccttca accctactta gctgccaatt	120
	attccgggct tgtgacccgc tacccgataa ataggtcggc tgaaaaattt cgttgcaata	180
	tcaacaaaaa ggcctatcat tgggaggtgt cgcaccaagt acttttgcga agcgccatct	240
	gacggatttt caaaagatgt atatgctcgg tgcggaaacc tacgaaagga gtttttaccc	300
		300
5	<210> 16 <211> 300 <212> ADN <213> Secuencia artificial	
10	<220> <223> RBS1/primer espaciador-GC	
	<400> 16 aagcgcctca tcagcggtaa ccatcacggg ttcgggtgcg aaaaaccatg ccataacagg	60
	aatgtteett tegaaaattg aggaageett atgeeettea accetaetta getgeeaatt	120
	atteeggget tgtgaceege taceegataa ataggtegge tgaaaaattt egttgeaata	180
	tcaacaaaaa ggcctatcat tgggaggtgt cgcaccaagt acttttgcga agcgccatct	240
	gacggatttt caaaagatgt atatgctcgg tgcggaaacc tacgaaagga gcttttaccc	300
		300
15	<210> 17 <211> 342 <212> ADN <213> Secuencia artificial	
20	<220> <223> RBS1/primer espaciador-TT/conector	
	<400> 17 aagcgcctca tcagcggtaa ccatcacggg ttcgggtgcg aaaaaccatg ccataacagg	60
	aatgtteett tegaaaattg aggaageett atgeeettea accetaetta getgeeaatt	120
	attccgggct tgtgacccgc tacccgataa ataggtcggc tgaaaaattt cgttgcaata	180
	tcaacaaaaa ggcctatcat tgggaggtgt cgcaccaagt acttttgcga agcgccatct	240
	gacggatttt caaaagatgt atatgctcgg tgcggaaacc tacgaaagga ttttttaccc	300
25	atggctgtat acgaactccc agaactcgac tacgcatacg ac	342
	<210> 18 <211> 356 <212> ADN <213> Secuencia artificial	
30	<220> <223> R1GA/R2TT	

	<400> 18						
		tcagcggtaa	ccatcacggg	ttcgggtgcg	aaaaaccatg	ccataacagg	60
	aatgttcctt	tcgaaaattg	aggaagcctt	atgcccttca	accctactta	gctgccaatt	120
	attccgggct	tgtgacccgc	tacccgataa	ataggtcggc	tgaaaaattt	cgttgcaata	180
	tcaacaaaaa	ggcctatcat	tgggaggtgt	cgcaccaagt	acttttgcga	agcgccatct	240
	gacggatttt	caaaagatgt	atatgctcgg	tgcggaaacc	tacgaaagga	gattttaccc	300
	atggctgtat	acgaactccc	agaactcgac	tacgcatacg	acgaaaggat	tacaaa	356
5	<210> 19 <211> 356 <212> ADN <213> Secuer	ncia artificial					
10	<220> <223> R1GA/	R2GA					
	<400> 19 aagcgcctca	tcagcggtaa	ccatcacggg	ttcgggtgcg	aaaaaccatg	ccataacagg	60
	aatgttcctt	tcgaaaattg	aggaagcctt	atgcccttca	accctactta	gctgccaatt	120
	attccgggct	tgtgacccgc	tacccgataa	ataggtcggc	tgaaaaattt	cgttgcaata	180
	tcaacaaaaa	ggcctatcat	tgggaggtgt	cgcaccaagt	acttttgcga	agcgccatct	240
	gacggatttt	caaaagatgt	atatgctcgg	tgcggaaacc	tacgaaagga	gattttaccc	300
	atggctgtat	acgaactccc	agaactcgac	tacgcatacg	acgaaaggag	aacaaa	356
15	<210> 20 <211> 356 <212> ADN <213> Secuer	ncia artificial					
20	<220> <223> R1GA/	R2GT					
	<400> 20 aagcgcctca	tcagcggtaa	ccatcacggg	ttcgggtgcg	aaaaaccatg	ccataacagg	60
	aatgttcctt	tcgaaaattg	aggaagcctt	atgcccttca	accctactta	gctgccaatt	120
	attccgggct	tgtgacccgc	tacccgataa	ataggtcggc	tgaaaaattt	cgttgcaata	180
	tcaacaaaaa	ggcctatcat	tgggaggtgt	cgcaccaagt	acttttgcga	agcgccatct	240
	gacggatttt	caaaagatgt	atatgctcgg	tgcggaaacc	tacgaaagga	gattttaccc	300
25	atggctgtat	acgaactccc	agaactcgac	tacgcatacg	acgaaaggag	tacaaa	356
_0	<210> 21 <211> 356 <212> ADN <213> Secuer	ncia artificial					
30	<220> <223> R1GA/	R2GC					

	<400> 21						
		tcagcggtaa	ccatcacggg	ttcgggtgcg	aaaaaccatg	ccataacagg	60
	aatgttcctt	tcgaaaattg	aggaagcctt	atgcccttca	accctactta	gctgccaatt	120
	attccgggct	tgtgacccgc	tacccgataa	ataggtcggc	tgaaaaattt	cgttgcaata	180
	tcaacaaaaa	ggcctatcat	tgggaggtgt	cgcaccaagt	acttttgcga	agcgccatct	240
	gacggatttt	caaaagatgt	atatgctcgg	tgcggaaacc	tacgaaagga	gattttaccc	300
E	atggctgtat	acgaactccc	agaactcgac	tacgcatacg	acgaaaggag	cacaaa	356
5	<210> 22 <211> 356 <212> ADN <213> Secuer	ncia artificial					
10	<220> <223> R1GA/	R2GG					
	<400> 22 aagcgcctca	tcagcggtaa	ccatcacggg	ttcgggtgcg	aaaaaccatg	ccataacagg	60
	aatgttcctt	tcgaaaattg	aggaagcctt	atgcccttca	accctactta	gctgccaatt	120
	attccgggct	tgtgacccgc	tacccgataa	ataggtcggc	tgaaaaattt	cgttgcaata	180
	tcaacaaaaa	ggcctatcat	tgggaggtgt	cgcaccaagt	acttttgcga	agcgccatct	240
	gacggatttt	caaaagatgt	atatgctcgg	tgcggaaacc	tacgaaagga	gattttaccc	300
15	atggctgtat	acgaactccc	agaactcgac	tacgcatacg	acgaaaggag	gacaaa	356
20	<210> 23 <211> 356 <212> ADN <213> Secuer	ncia artificial					
	<220> <223> R1GT/l	R2TT					
25	<400> 23 aagcgcctca	tcagcggtaa	ccatcacggg	ttcgggtgcg	aaaaaccatg	ccataacagg	60
	aatgttcctt	tcgaaaattg	aggaagcctt	atgcccttca	accctactta	gctgccaatt	120
	attccgggct	tgtgacccgc	tacccgataa	ataggtcggc	tgaaaaattt	cgttgcaata	180
	tcaacaaaaa	ggcctatcat	tgggaggtgt	cgcaccaagt	acttttgcga	agcgccatct	240
	gacggatttt	caaaagatgt	atatgctcgg	tgcggaaacc	tacgaaagga	gtttttaccc	300
	atggctgtat	acgaactccc	agaactcgac	tacgcatacg	acgaaaggat	tacaaa	356
30	<210> 24 <211> 356 <212> ADN <213> Secuer	ncia artificial					
35	<220> <223> R1GT/l	R2GA					
	<400> 24 aagcgcctca	tcagcggtaa	ccatcacggg	ttcgggtgcg	aaaaaccatg	ccataacagg	60
	aatgttcctt	tcgaaaattg	aggaagcctt	atgcccttca	accctactta	gctgccaatt	120

	atteeggget	tgtgaccege	taccegataa	araggregge	tgaaaaattt	cgttgcaata	180
	tcaacaaaaa	ggcctatcat	tgggaggtgt	cgcaccaagt	acttttgcga	agcgccatct	240
	gacggatttt	caaaagatgt	atatgctcgg	tgcggaaacc	tacgaaagga	gtttttaccc	300
	atggctgtat	acgaactccc	agaactcgac	tacgcatacg	acgaaaggag	aacaaa	356
5	<210> 25 <211> 356 <212> ADN <213> Secuer	ncia artificial					
10	<220> <223> R1GT/l	R2GT					
	<400> 25 aagcgcctca	tcagcggtaa	ccatcacggg	ttcgggtgcg	aaaaaccatg	ccataacagg	60
	aatgttcctt	tcgaaaattg	aggaagcctt	atgcccttca	accctactta	gctgccaatt	120
	attccgggct	tgtgacccgc	tacccgataa	ataggtcggc	tgaaaaattt	cgttgcaata	180
	tcaacaaaaa	ggcctatcat	tgggaggtgt	cgcaccaagt	acttttgcga	agcgccatct	240
	gacggatttt	caaaagatgt	atatgctcgg	tgcggaaacc	tacgaaagga	gtttttaccc	300
	atggctgtat	acgaactccc	agaactcgac	tacgcatacg	acgaaaggag	tacaaa	356
15	<210> 26 <211> 356 <212> ADN <213> Secuer	ncia artificial					
20	<220> <223> R1GT/l	R2GC					
	<400> 26						
		tcagcggtaa					60
		tcgaaaattg					120
		tgtgacccgc					180
		ggcctatcat					240
		caaaagatgt				_	300
25	atggctgtat	acgaactccc	agaactcgac	tacgcatacg	acgaaaggag	cacaaa	356
	<210> 27 <211> 356 <212> ADN <213> Secuer	ncia artificial					
30	<220>	iola artificial					
	<223> R1GT/I	R2GG					

	<400> 27						
		tcagcggtaa	ccatcacggg	ttcgggtgcg	aaaaaccatg	ccataacagg	60
	aatgttcctt	tcgaaaattg	aggaagcctt	atgcccttca	accctactta	gctgccaatt	120
	attccgggct	tgtgacccgc	tacccgataa	ataggtcggc	tgaaaaattt	cgttgcaata	180
	tcaacaaaaa	ggcctatcat	tgggaggtgt	cgcaccaagt	acttttgcga	agcgccatct	240
	gacggatttt	caaaagatgt	atatgctcgg	tgcggaaacc	tacgaaagga	gtttttaccc	300
	atggctgtat	acgaactccc	agaactcgac	tacgcatacg	acgaaaggag	gacaaa	356
5	<210> 28 <211> 356 <212> ADN <213> Secuer	ncia artificial					
10	<220> <223> R1GC/	R2TT					
	<400> 28 aagcgcctca	tcagcggtaa	ccatcacggg	ttcgggtgcg	aaaaaccatg	ccataacagg	60
	aatgttcctt	tcgaaaattg	aggaagcctt	atgcccttca	accctactta	gctgccaatt	120
	attccgggct	tgtgacccgc	tacccgataa	ataggtcggc	tgaaaaattt	cgttgcaata	180
	tcaacaaaaa	ggcctatcat	tgggaggtgt	cgcaccaagt	acttttgcga	agcgccatct	240
	gacggatttt	caaaagatgt	atatgctcgg	tgcggaaacc	tacgaaagga	gcttttaccc	300
	atggctgtat	acgaactccc	agaactcgac	tacgcatacg	acgaaaggat	tacaaa	356
15	<210> 29 <211> 356 <212> ADN <213> Secuer	ncia artificial					
20	<220> <223> R1GC/	R2GA					
	<400> 29 aagcgcctca	tcagcggtaa	ccatcacggg	ttcgggtgcg	aaaaaccatg	ccataacagg	60
	aatgttcctt	tcgaaaattg	aggaagcctt	atgcccttca	accctactta	gctgccaatt	120
	attccgggct	tgtgacccgc	tacccgataa	ataggtcggc	tgaaaaattt	cgttgcaata	180
	tcaacaaaaa	ggcctatcat	tgggaggtgt	cgcaccaagt	acttttgcga	agcgccatct	240
	gacggatttt	caaaagatgt	atatgctcgg	tgcggaaacc	tacgaaagga	gcttttaccc	300
25	atggctgtat	acgaactccc	agaactcgac	tacgcatacg	acgaaaggag	aacaaa	356
	<210> 30 <211> 356 <212> ADN <213> Secuer	ncia artificial					
30	<220> <223> R1GC/	R2GT					

	<400> 30						
	aagcgcctca	tcagcggtaa	ccatcacggg	ttcgggtgcg	aaaaaccatg	ccataacagg	60
	aatgttcctt	tcgaaaattg	aggaagcctt	atgcccttca	accctactta	gctgccaatt	120
	attccgggct	tgtgacccgc	tacccgataa	ataggtcggc	tgaaaaattt	cgttgcaata	180
	tcaacaaaaa	ggcctatcat	tgggaggtgt	cgcaccaagt	acttttgcga	agcgccatct	240
	gacggatttt	caaaagatgt	atatgctcgg	tgcggaaacc	tacgaaagga	gcttttaccc	300
	atggctgtat	acgaactccc	agaactcgac	tacgcatacg	acgaaaggag	tacaaa	356
5	<210> 31 <211> 356 <212> ADN <213> Secuer	ncia artificial					
10	<220> <223> R1GC/	R2GC					
	<400> 31 aagcgcctca	tcagcggtaa	ccatcacggg	ttcgggtgcg	aaaaaccatg	ccataacagg	60
	aatgttcctt	tcgaaaattg	aggaagcctt	atgcccttca	accctactta	gctgccaatt	120
	attccgggct	tgtgacccgc	tacccgataa	ataggtcggc	tgaaaaattt	cgttgcaata	180
	tcaacaaaaa	ggcctatcat	tgggaggtgt	cgcaccaagt	acttttgcga	agcgccatct	240
	gacggatttt	caaaagatgt	atatgctcgg	tgcggaaacc	tacgaaagga	gcttttaccc	300
	atggctgtat	acgaactccc	agaactcgac	tacgcatacg	acgaaaggag	cacaaa	356
15	<210> 32 <211> 356 <212> ADN <213> Secuer	ncia artificial					
20	<220> <223> R1GC/	R2GG					
	<400> 32 aagcgcctca	tcagcggtaa	ccatcacggg	ttcgggtgcg	aaaaaccatg	ccataacagg	60
	aatgttcctt	tcgaaaattg	aggaagcctt	atgcccttca	accctactta	gctgccaatt	120
	attccgggct	tgtgacccgc	tacccgataa	ataggtcggc	tgaaaaattt	cgttgcaata	180
25	tcaacaaaaa	ggcctatcat	tgggaggtgt	cgcaccaagt	acttttgcga	agcgccatct	240
23	gacggatttt	caaaagatgt	atatgctcgg	tgcggaaacc	tacgaaagga	gcttttaccc	300
	atggctgtat	acgaactccc	agaactcgac	tacgcatacg	acgaaaggag	gacaaa	356
30	<210> 33 <211> 289 <212> PRT <213> Secuer	ncia artificial					
35	<220> <223> secuer	ıcia de aminoá	cidos de una p	oroteína enzima	ática originada	a partir de <i>Clostridium</i>	scindens

<400	> 33														
Met 1	Lys	His	Gly	Ile 5	Tyr	Tyr	Ala	Tyr	Trp 10	Glu	Gln	Glu	Trp	Ala 15	Ala
Asp	Tyr	Lys	Arg 20	Tyr	Val	Glu	Lys	Ala 25	Ala	Lys	Leu	Gly	Phe 30	Asp	Ile
Leu	Glu	<b>Val</b> 35	Gly	Ala	Ala	Pro	Leu 40	Pro	Asp	Tyr	Ser	Ala 45	Gln	Glu	Val
Lys	Glu 50	Leu	Lys	Lys	Cys	Ala 55	Asp	Asp	Asn	Gly	Ile 60	Gln	Leu	Thr	Ala
Gly 65	Tyr	Gly	Pro	Ala	Phe 70	Asn	His	Asn	Met	Gly 75	Ser	Ser	Asp	Pro	Lys 80
Ile	Arg	Glu	Glu	Ala 85	Leu	Gln	Trp	Tyr	Lys 90	Arg	Leu	Phe	Glu	<b>Val</b> 95	Met
Ala	Gly	Leu	Asp 100	Ile	His	Leu	Ile	Gly 105	Gly	Ala	Leu	Tyr	Ser 110	Tyr	Trp
Pro	Val	Asp 115	Phe	Ala	Thr	Ala	Asn 120	Lys	Glu	Glu	Asp	Trp 125	Lys	His	Ser
Val	Glu 130	Gly	Met	Gln	Ile	Leu 135	Ala	Pro	Ile	Ala	Ser 140	Gln	Tyr	Gly	Ile
Asn 145	Leu	Gly	Met	Glu	<b>Val</b> 150	Leu	Asn	Arg	Phe	Glu 155	Ser	His	Ile	Leu	Asn 160
Thr	Ser	Glu	Glu	Gly 165	Val	Lys	Phe	Val	Thr 170	Glu	Val	Gly	Met	Asp 175	Asn
Val	Lys	Val	Met 180	Leu	Asp	Thr	Phe	His 185	Met	Asn	Ile	Glu	Glu 190	Ser	Ser
Ile	Gly	Asp 195	Ala	Ile	Arg	His	Ala 200	Gly	Lys	Leu	Leu	Gly 205	His	Phe	His
Thr	Gly 210	Glu	Суѕ	Asn	Arg	Met 215	Val	Pro	Gly	Lys	Gly 220	Arg	Thr	Pro	Trp
Arg 225	Glu	Ile	Gly	Asp	Ala 230	Leu	Arg	Glu	Ile	Glu 235	Tyr	Asp	Gly	Thr	Val 240
Val	Met	Glu	Pro	Phe 245	Val	Arg	Met	Gly	Gly 250	Gln	Val	Gly	Ser	Asp 255	Ile
Lys	Val	Trp	Arg 260	Asp	Ile	Ser	Lys	Gly 265	Ala	Gly	Glu	Asp	Arg 270	Leu	Asp
Glu	Asp	Ala 275	Arg	Arg	Ala	Val	Glu 280	Phe	Gln	Arg	Tyr	Met 285	Leu	Glu	Trp
Lys															
<210 <211 <212 <213	> 295 > PR	T	cia art	ificial											
	<220> <223> secuencia de aminoácidos de psicosa 3-epimerasa a partir de <i>Treponema primitia</i>														

<400	> 34														
Met 1	Gln	Tyr	Gly	Ile 5	Tyr	Phe	Ala	Tyr	Trp 10	Thr	Lys	Glu	Trp	Gln 15	Ala
Asp	Tyr	Lys	Lys 20	Tyr	Ile	Asp	Lys	Val 25	Ser	Lys	Leu	Gly	Phe 30	Asp	Ile
Leu	Glu	Ile 35	Ser	Cys	Ala	Ala	Leu 40	Lys	Asp	Gln	Tyr	Val 45	Ser	Asp	Ser
Gln	Leu 50	Phe	Asp	Leu	Arg	<b>Asp</b> 55	Tyr	Ala	Lys	Glu	Lys 60	Gly	Val	Thr	Leu
Thr 65	Ala	Gly	Tyr	Gly	Pro 70	Ala	Lys	Gly	Glu	Asn 75	Leu	Ser	Ser	Ser	<b>Asp</b> 80
Asn	Arg	Val	Val	Lys 85	Asn	Ala	Lys	Ala	Phe 90	Tyr	Lys	Asp	Val	Leu 95	Gly
Lys	Leu	Asn	Lys 100	Leu	Asp	Ile	Arg	Leu 105	Leu	Gly	Gly	Gly	Leu 110	Tyr	Ser
Tyr	Trp	Pro 115	Val	Asp	Tyr	Ser	Leu 120	Pro	Ile	Asp	Lys	Ala 125	Gly	Asp	Trp
Lys	Arg 130	Ser	Val	Glu	Asn	Ile 135	Arg	Glu	Ile	Ala	Ala 140	Ile	Ala	Ala	Asp
Arg 145	Asn	Val	Val	Leu	Gly 150	Met	Glu	Val	Leu	Asn 155	Arg	Phe	Glu	Gly	Tyr 160
Leu	Leu	Asn	Thr	Cys 165	Glu	Glu	Gly	Ile	<b>Lys</b> 170	Phe	Val	Asp	Glu	Val 175	Asn
His	Pro	Asn	Val 180	Lys	Val	Met	Leu	Asp 185	Thr	Phe	His	Met	<b>As</b> n 190	Ile	Glu
Glu	Asp	Asn 195	Met	Ala	Glu	Ala	Ile 200	Arg	Met	Ala	Gly	Asp 205	Lys	Leu	Gly
His	Phe 210	His	Ile	Gly	Glu	Gln 215	Asn	Arg	Lys	Val	Pro 220	Gly	Lys	Gly	Cys
Ile 225	Pro	Trp	Asn	Ala	Ile 230	Gly	His	Ala	Leu	Arg 235	Asp	Ile	Arg	Tyr	Asn 240
Gly	Thr	Val	Val	Met 245		Pro	Phe		Met 250		Gly	Gly	Thr	Ile 255	Gly
Gln	Asp	Ile	<b>Lys</b> 260	Val	Trp	Arg	Asn	Leu 265	Leu	Pro	Glu	Thr	Ser 270	Glu	Thr
Ile	Leu	Asp 275	Arg	Asp	Ala	Lys	Gly 280	Ala	Leu	Glu	Phe	Val 285	Lys	His	Val
Phe	Gly 290	Ser	Thr	Ser	Val	Leu 295									
<210 <211 <212 <213	> 282 > PR	Т	cia art	ificial											
<220 <223		uenc	ia de	amin	oácid	los de	D-ps	sicosa	a 3-er	oimera	asa o	rigina	ıda a	partir	de <i>Ensifer adhaeren</i>

<400	> 35															
Met 1	Gln	Gly	Phe	Gly 5	Val	His	Thr	Ser	Met 10	Trp	Thr	Met	Asn	Trp 15	Asp	
Arg	Pro	Gly	Ala 20	Glu	Arg	Ala	Val	Ala 25	Ala	Ala	Val	Lys	Tyr 30	Ala	Val	
Asp	Phe	Ile 35	Glu	Ile	Pro	Met	Leu 40	Asn	Pro	Pro	Ala	Val 45	Asp	Thr	Ala	
His	Thr 50	Arg	Ala	Leu	Leu	Glu 55	Lys	Asn	Lys	Leu	Arg 60	Ala	Val	Cys	Ser	
Leu 65	Gly	Leu	Pro	Glu	Arg 70	Ala	Trp	Ala	Ser	Val 75	Arg	Pro	Asp	Ala	Ala 80	
Ile	Glu	His	Leu	Lys 85	Val	Ala	Ile	Asp	Lys 90	Thr	Ala	Asp	Leu	Gly 95	Gly	
Glu	Ala	Leu	Ser 100	Gly	Val	Ile	Tyr	Gly 105	Gly	Ile	Gly	Glu	Arg 110	Thr	Gly	
Val	Pro	Pro 115	Thr	Glu	Ala	Glu	Tyr 120	Asp	Asn	Ile	Ala	Arg 125	Val	Leu	Gln	
Ala	<b>A</b> la 130	Ala	Lys	His	Ala	Lys 135	Thr	Arg	Gly	Ile	Glu 140	Leu	Gly	Val	Glu	
Ala 145	Val	Asn	Arg	Tyr	Glu 150	Asn	His	Leu	Ile	Asn 155	Thr	Gly	Trp	Gln	Ala 160	
Val	Asp	Met	Ile	Lys 165	Arg	Val	Gly	Ala	<b>Asp</b> 170	Asn	Val	Phe	Val	His 175	Leu	
Asp	Thr	Tyr	His 180	Met	Asn	Ile	Glu	Glu 185	Lys	Gly	Ile	Gly	Thr 190	Gly	Ile	
Leu	Asp	Ala 195	Arg	Asp	Phe	Ile	Lys 200	Tyr	Ile	His	Leu	Ser 205	Glu	Ser	Asp	
Arg	Gly 210	Thr	Pro	Gly	Tyr	Gly 215	Asn	Cys	Ala	Trp	Asp 220	Glu	Ile	Phe	Ala	
Thr 225	Leu	Ala	Ala	Ile	Gly 230	Phe	Lys	Gly	Gly	Leu 235	Ala	Met	Glu	Ser	Phe 240	
Ile	Asn	Met	Pro	Pro 245	Glu	Val	Ala		Gly 250	Leu	Ala	Val	Trp	Arg 255	Pro	
Val	Ala	Arg	Asp 260	Glu	Glu	Glu	Val	Met 265	Gly	Asn	Gly	Leu	Pro 270	Phe	Leu	
Arg	Asn	Lys 275	Ala	Arg	Gln	Tyr	Gly 280	Leu	Ile							
<210 <211 <212 <213	> 290 > PR	Т	cia art	ificial												
<220 <223		uenc	ia de	amin	oácid	os de	D-ps	sicosa	а 3-ер	oimera	asa o	rigina	ıda a	partir	de Ruminococcus to	orques

<400 Met 1		Met	Lys	Phe 5	Gly	Thr	Leu	Tyr	Ser 10	Tyr	Trp	Gly	Thr	Lys 15	Trp
Gln	Cys	Asp	Tyr 20	Leu	Lys	Thr	Leu	Lys 25	Arg	Val	Ser	Asp	Ile 30	Gly	Phe
Asp	Ile	Leu 35	Glu	Met	Gly	Ala	Pro 40	His	Leu	Leu	Glu	Met 45	Ser	Asp	Tyr
Glu	Leu 50	Ser	Glu	Leu	Arg	Arg 55	Ala	Ala	Lys	Asp	Met 60	Asp	Met	Val	Leu
Thr 65	Ala	Asn	Ile	Gly	Pro 70	Ala	Lys	Asp	Lys	<b>Asp</b> 75	Leu	Ala	Ser	Pro	Asp 80
Pro	Asp	Ile	Arg	Lys 85	Ala	Gly	Val	Asn	Tyr 90	Leu	Ile	Asp	Ile	Leu 95	Lys
Ala	Met	Glu	Lys 100	Val	Gly	Ser	Lys	Ser 105	Leu	Val	Gly	Ala	Met 110	Tyr	Ser
Tyr	Trp	Pro 115	Cys	Gln	Phe	Glu	11e 120	Thr	Asp	Lys	Glu	Ala 125	Ala	Trp	Glu
Arg	Ser 130	Ile	Glu	Gly	Met	Lys 135	Glu	Val	Ala	Glu	Ala 140	Ala	Glu	Ser	Leu
Gly 145	Ile	Glu	Cys	Cys	Gln 150	Glu	Val	Leu	Asn	Arg 155	Tyr	Glu	Thr	Tyr	Ile 160
Ile	Thr	Asp	Cys	Arg 165	Glu	Gly	Leu	Glu	Tyr 170	Cys	Arg	Arg	Val	Gly 175	Ser
Glu	Asn	Val	Asn 180	Leu	Leu	Leu	Asp	Thr 185	Phe	His	Met	Asn	Ile 190	Glu	Glu
Asp	Asn	Ile 195	Pro	Glu	Ala	Ile	Arg 200	Leu	Ala	Gly	Arg	<b>Lys</b> 205	Leu	Gly	His
Leu	His 210	Val	Gly	Glu	Ser	Asn 215	Arg	Lys	Leu	Pro	Gly 220	Met	Gly	Ser	Leu
Pro 225	Trp	Arg	Asp	Ile	Gly 230	Arg	Ala	Leu	Arg	<b>Asp</b> 235	Ile	Gly	Tyr	Glu	Lys 240
Gly	Val	Val	Met	Glu 245		Phe	Leu	Leu	Gln 250		Gly	Glu	Val	<b>Ala</b> 255	
Asp	Cys	Lys	Val 260	Trp	Arg	Asp	Leu	Ser 265	Gly	Asn	Ala	Asp	Glu 270	Lys	Met
Leu	Asp	Arg 275	Tyr	Ile	Lys	Glu	Ser 280	Leu	Thr	Phe	Leu	Lys 285	His	Glu	Phe
Thr	Phe 290														
<210 <211 <212 <213	> 870 > AD	N	cia art	ificial											
	<220> <223> secuencia de ácido nucleico modificada (1) de la proteína enzimática de SEC ID.														

<400> 37 atgaaacacg	gtatctacta	cgcgtactgg	gaacaggaat	gggcggcgga	ctacaaacgt	60
tacgttgaaa	aagcggcgaa	actgggtttc	gacatcctgg	aagttggtgc	ggcgccgctg	120
ccggactact	ctgcgcagga	agttaaagaa	ctgaaaaaat	gcgcggacga	caacggtatc	180
cagctgaccg	cgggttacgg	tccggcgttc	aaccacaaca	tgggttcttc	tgacccgaaa	240
atccgtgaag	aagcgctgca	gtggtacaaa	cgtctgttcg	aagttatggc	gggtctggac	300
atccacctga	tcggtggtgc	gctgtactct	tactggccgg	ttgacttcgc	gaccgcgaac	360
aaagaagaag	actggaaaca	ctctgttgaa	ggtatgcaga	tcctggcgcc	gatcgcgtct	420
cagtacggta	tcaacctggg	tatggaagtt	ctgaaccgtt	tcgaatctca	catcctgaac	480
acctctgaag	aaggtgttaa	attcgttacc	gaagttggta	tggacaacgt	taaagttatg	540
ctggacacct	tccacatgaa	catcgaagaa	tcttctatcg	gtgacgcgat	ccgtcacgcg	600
ggtaaactgc	tgggtcactt	ccacaccggt	gaatgcaacc	gtatggttcc	gggtaaaggt	660
cgtaccccgt	ggcgtgaaat	cggtgacgcg	ctgcgtgaaa	tcgaatacga	cggtaccgtt	720
gttatggaac	cgttcgttcg	tatgggtggt	caggttggtt	ctgacatcaa	agtttggcgt	780
gacatctcta	aaggtgcggg	tgaagaccgt	ctggacgaag	acgcgcgtcg	tgcggttgaa	840
ttccagcgtt	acatgctgga	atggaaataa				870
<210> 38 <211> 870 <212> ADN						
<213> Secue	ncia artificial					
<220>		ucleico modific	ada (2) de la p	oroteína enzima	ática de SEC ID Nº 33	
<220> <223> secuer <400> 38						60
<220> <223> secuer <400> 38 atgaagcacg	ncia de ácido n	cgcatactgg	gagcaggagt	gggcagcaga	ctacaagcgc	60 120
<220> <223> secuer <400> 38 atgaagcacg tacgttgaga	ncia de ácido no gcatctacta	cgcatactgg gctgggcttc	gagcaggagt	gggcagcaga aggttggcgc	ctacaagcgc agcaccactg	
<220> <223> secuer <400> 38 atgaagcacg tacgttgaga ccagactact	ncia de ácido n gcatctacta aggcagcaaa	cgcatactgg gctgggcttc ggttaaggag	gagcaggagt gacatcctgg ctgaagaagt	gggcagcaga aggttggcgc gcgcagacga	ctacaagcgc agcaccactg caacggcatc	120
<220> <223> secuer <400> 38 atgaagcacg tacgttgaga ccagactact cagctgaccg	ncia de ácido no geatetaeta aggeageaaa eegeaegga	cgcatactgg gctgggcttc ggttaaggag cccagcattc	gagcaggagt gacatcctgg ctgaagaagt aaccacaaca	gggcagcaga aggttggcgc gcgcagacga tgggctcctc	ctacaagcgc agcaccactg caacggcatc cgacccaaag	120 180
<220> <223> secuer <400> 38 atgaagcacg tacgttgaga ccagactact cagctgaccg atccgcgagg	gcatctacta aggcagcaaa ccgcacagga caggctacgg	cgcatactgg gctgggcttc ggttaaggag cccagcattc gtggtacaag	gagcaggagt gacatcctgg ctgaagaagt aaccacaaca cgcctgttcg	gggcagcaga aggttggcgc gcgcagacga tgggctcctc aggttatggc	ctacaagcgc agcaccactg caacggcatc cgacccaaag aggcctggac	120 180 240
<220> <223> secuer <400> 38 atgaagcacg tacgttgaga ccagactact cagctgaccg atccgcgagg atccacctga	gcatctacta aggcagcaaa ccgcacagga caggctacgg aggcactgca	cgcatactgg gctgggcttc ggttaaggag cccagcattc gtggtacaag actgtactcc	gagcaggagt gacatcctgg ctgaagaagt aaccacaaca cgcctgttcg tactggccag	gggcagcaga aggttggcgc gcgcagacga tgggctcctc aggttatggc	ctacaagcgc agcaccactg caacggcatc cgacccaaag aggcctggac aaccgcaaac	120 180 240 300
<220> <223> secuer <400> 38 atgaagcacg tacgttgaga ccagactact cagctgaccg atccgcgagg atccacctga aaggaggagg	aggeactgea ceggeageaa caggetaegg aggeactgea	cgcatactgg gctgggcttc ggttaaggag cccagcattc gtggtacaag actgtactcc ctccgttgag	gagcaggagt gacatcctgg ctgaagaagt aaccacaaca cgcctgttcg tactggccag ggcatgcaga	gggcagcaga aggttggcgc gcgcagacga tgggctcctc aggttatggc ttgacttcgc tcctggcacc	ctacaagege ageaceactg caacggeate egaceeaaag aggeetggae aacegeaaae aategeatee	120 180 240 300 360
<220> <223> secuer <400> 38    atgaagcacg    tacgttgaga    ccagactact    cagctgaccg    atccgcgagg    atccacctga    aaggaggagg    cagtacggca	aggeactacga aggeactacga caggeactgea teggeggegeactgea	cgcatactgg gctgggcttc ggttaaggag cccagcattc gtggtacaag actgtactcc ctccgttgag catggaggtt	gagcaggagt gacatcctgg ctgaagaagt aaccacaaca cgcctgttcg tactggccag ggcatgcaga ctgaaccgct	gggcagcaga aggttggcgc gcgcagacga tgggctcctc aggttatggc ttgacttcgc tcctggcacc tcgagtccca	ctacaagege agcaccactg caacggcatc cgacccaaag aggcctggac aaccgcaaac aatcgcatcc catcctgaac	120 180 240 300 360 420
<220> <223> secuer <400> 38     atgaagcacg     tacgttgaga     ccagactact     cagctgaccg     atccgcgagg     atccacctga     aaggaggagg     cagtacggca     acctccgagg	gcatctacta aggcagcaaa ccgcacagga caggctacgg aggcactgca tcggcggcgc actggaagca tcaacctggg	cgcatactgg gctgggcttc ggttaaggag cccagcattc gtggtacaag actgtactcc ctccgttgag catggaggtt gttcgttacc	gagcaggagt gacatcctgg ctgaagaagt aaccacaaca cgcctgttcg tactggccag ggcatgcaga ctgaaccgct gaggttggca	gggcagcaga aggttggcgc gcgcagacga tgggctcctc aggttatggc ttgacttcgc tcctggcacc tcgagtccca tggacaacgt	ctacaagege agcaccactg caacggcatc cgacccaaag aggcctggac aaccgcaaac aatcgcatcc catcctgaac taaggttatg	120 180 240 300 360 420 480
<220> <223> secuer <400> 38     atgaagcacg     tacgttgaga     ccagactact     cagctgaccg     atccgcgagg     atccacctga     aaggaggagg     cagtacggca     acctccgagg     ctggacacct	gcatctacta aggcagcaaa ccgcacagga caggctacgg aggcactgca tcggcggcgc actggaagca tcaacctggg agggcgttaa	cgcatactgg gctgggcttc ggttaaggag cccagcattc gtggtacaag actgtactcc ctccgttgag catggaggtt gttcgttacc catcgaggag	gagcaggagt gacatcctgg ctgaagaagt aaccacaaca cgcctgttcg tactggccag ggcatgcaga ctgaaccgct gaggttggca tcctccatcg	gggcagcaga aggttggcgc gcgcagacga tgggctcctc aggttatggc ttgacttcgc tcctggcacc tcgagtccca tggacaacgt gcgacgcaat	ctacaagege agcaccactg caacggcatc cgacccaaag aggcctggac aaccgcaaac aatcgcatcc catcctgaac taaggttatg ccgccacgca	120 180 240 300 360 420 480 540
<220> <223> secuer <400> 38     atgaagcacg     tacgttgaga     ccagactact     cagctgaccg     atccgcgagg     atccacctga     aaggaggagg     cagtacggca     acctccgagg     ctggacacct     ggcaagctgc	gcatctacta aggcagcaaa ccgcacagga caggctacgg aggcactgca tcggcggcgc actggaagca tcaacctggg agggcgttaa tccacatgaa	cgcatactgg gctgggcttc ggttaaggag cccagcattc gtggtacaag actgtactcc ctccgttgag catggaggtt gttcgttacc catcgaggag ccacaccggc	gagcaggagt gacatcctgg ctgaagaagt aaccacaaca cgcctgttcg tactggccag ggcatgcaga ctgaaccgct gaggttggca tcctccatcg gagtgcaacc	gggcagcaga aggttggcgc gcgcagacga tgggctcctc aggttatggc ttgacttcgc tcctggcacc tcgagtccca tggacaacgt gcgacgcaat gcatggttcc	ctacaagcgc agcaccactg caacggcatc cgacccaaag aggcctggac aaccgcaaac aatcgcatcc catcctgaac taaggttatg ccgccacgca aggcaagggc	120 180 240 300 360 420 480 540
<220> <223> secuer <400> 38 atgaagcacg tacgttgaga ccagactact cagctgaccg atccgcgagg atccacctga aaggaggagg cagtacggca acctccgagg ctggacacct ggcaagctgc	gcatctacta aggcagcaaa ccgcacagga caggctacgg aggcactgca tcggcggcgc actggaagca tcaacctggg agggcgttaa tccacatgaa tgggccactt	cgcatactgg gctgggcttc ggttaaggag cccagcattc gtggtacaag actgtactcc ctccgttgag catggaggtt gttcgttacc catcgaggag ccacaccggc cggcgacgca	gagcaggagt gacatcctgg ctgaagaagt aaccacaaca cgcctgttcg tactggccag ggcatgcaga ctgaaccgct gaggttggca tcctccatcg gagtgcaacc ctgcgcgaga	gggcagcaga aggttggcgc gcgcagacga tgggctcctc aggttatggc ttgacttcgc tcctggcacc tcgagtccca tggacaacgt gcgacgcaat gcatggttcc tcgagttcc	ctacaagcgc agcaccactg caacggcatc cgacccaaag aggcctggac aaccgcaaac aatcgcatcc catcctgaac taaggttatg ccgccacgca aggcaagggc	120 180 240 300 360 420 480 540 600
<220> <223> secuer <400> 38 atgaagcacg tacgttgaga ccagactact cagctgaccg atccgcgagg atccacctga aaggaggagg cagtacggca acctccgagg ctggacacct ggcaagctgc cgcaccccat gttatggagc	gcatctacta aggcagcaaa ccgcacagga caggctacgg aggcactgca tcggcggcgc actggaagca tcaacctggg aggcgttaa tccacatgaa tgggccactt ggcgcgagat	cgcatactgg gctgggcttc ggttaaggag cccagcattc gtggtacaag actgtactcc ctccgttgag catggaggtt gttcgttacc catcgaggag ccacaccggc cggcgacgca catgggcggc	gagcaggagt gacatcctgg ctgaagaagt aaccacaaca cgcctgttcg tactggccag ggcatgcaga ctgaaccgct gaggttggca tcctccatcg gagtgcaacc ctgcgcgaga caggttggct	gggcagcaga aggttggcgc gcgcagacga tgggctcctc aggttatggc ttgacttcgc tcctggcacc tcgagtccca tggacaacgt gcgacgcaat gcatggttcc tcgagtacga ccgacatcaa	ctacaagege ageaceactg caacggeate egaceaaag aggeetggae aacegeaaae aategeatee cateetgaae taaggttatg eegeeaegea aggeaagge eggeaeegtt ggtttggege	120 180 240 300 360 420 480 540 600 660 720

ttccagcgct acatgctgga gtggaagtaa

_	<210> 39 <211> 888 <212> ADN <213> Secuence	sia artificial					
5	<220> <223> secuenci	ia de ácido nι	ucleico modific	ada (1) de la p	oroteína enzima	ática de SEC ID Nº 34	
	<400>39 atgcagtacg g	*****	agget agt ag	200222022	aacaaaaaaa	ctacaaaaa	60
	acgeageacg g	jeacetacet	cycycaccyy	accaaagaac	ggcaggcgga	Ctacaaaaa	
	tacatcgaca a	agtttctaa	actgggtttc	gacatcctgg	aaatctcttg	cgcggcgctg	120
10	aaagaccagt a	acgtttctga	ctctcagctg	ttcgacctgc	gtgactacgc	gaaagaaaaa	180
	ggtgttaccc t	gaccgcggg	ttacggtccg	gcgaaaggtg	aaaacctgtc	ttcttctgac	240
	aaccgtgttg t	taaaaacgc	gaaagcgttc	tacaaagacg	ttctgggtaa	actgaacaaa	300
	ctggacatcc g	gtctgctggg	tggtggtctg	tactcttact	ggccggttga	ctactctctg	360
	ccgatcgaca a	agcgggtga	ctggaaacgt	tctgttgaaa	acatccgtga	aatcgcggcg	420
	atcgcggcgg a	accgtaacgt	tgttctgggt	atggaagttc	tgaaccgttt	cgaaggttac	480
	ctgctgaaca c	cctgcgaaga	aggtatcaaa	ttcgttgacg	aagttaacca	cccgaacgtt	540
	aaagttatgc t	ggacacctt	ccacatgaac	atcgaagaag	acaacatggc	ggaagcgatc	600
	cgtatggcgg g	gtgacaaact	gggtcacttc	cacatcggtg	aacagaaccg	taaagttccg	660
	ggtaaaggtt g	gcatcccgtg	gaacgaaatc	ggtcacgcgc	tgcgtgacat	ccgttacaac	720
	ggtaccgttg t	tatggaacc	gttcgttatg	ccgggtggta	ccatcggtca	ggacatcaaa	780
	gtttggcgtg a	acctgctgcc	ggaaacctct	gaaaccatcc	tggaccgtga	cgcgaaaggt	840
	gcgctggaat t	cgttaaaca	cgttttcggt	tctacctctg	ttctgtaa		888
15	<210> 40 <211> 888 <212> ADN <213> Secuence	sia artificial					
20	<220> <223> secuenci	ia de ácido nu	ucleico modific	ada (2) de la p	roteína enzima	ática de SEC ID № 34	

<400> 40						
atgcagtacg	gcatctactt	cgcatactgg	accaaggagt	ggcaggcaga	ctacaagaag	60
tacatcgaca	aggtttccaa	gctgggcttc	gacatcctgg	agatctcctg	cgcagcactg	120
aaggaccagt	acgtttccga	ctcccagctg	ttcgacctgc	gcgactacgc	aaaggagaag	180
ggcgttaccc	tgaccgcagg	ctacggccca	gcaaagggcg	agaacctgtc	ctcctccgac	240
aaccgcgttg	ttaagaacgc	aaaggcattc	tacaaggacg	ttctgggcaa	gctgaacaag	300
ctggacatcc	gcctgctggg	cggcggcctg	tactcctact	ggccagttga	ctactccctg	360
ccaatcgaca	aggcaggcga	ctggaagcgc	tccgttgaga	acatccgcga	gatcgcagca	420
atcgcagcag	accgcaacgt	tgttctgggc	atggaggttc	tgaaccgctt	cgagggctac	480
ctgctgaaca	cctgcgagga	gggcatcaag	ttcgttgacg	aggttaacca	cccaaacgtt	540
aaggttatgc	tggacacctt	ccacatgaac	atcgaggagg	acaacatggc	agaggcaatc	600
cgcatggcag	gcgacaagct	gggccacttc	cacatcggcg	agcagaaccg	caaggttcca	660
ggcaagggct	gcatcccatg	gaacgagatc	ggccacgcac	tgcgcgacat	ccgctacaac	720
ggcaccgttg	ttatggagcc	attcgttatg	ccaggcggca	ccatcggcca	ggacatcaag	780
gtttggcgcg	acctgctgcc	agagacctcc	gagaccatcc	tggaccgcga	cgcaaagggc	840
gcactggagt	tcgttaagca	cgttttcggc	tccacctccg	ttctgtaa		888
<210> 41 <211> 855 <212> ADN <213> Secuer	ncia artificial					
<220> <223> secuen	cia de ácido n	ucleico modific	ada (1) de la p	oroteína enzima	ática de SEC ID Nº	9 35
<400> 41	tcggtgttca	cacctctato	tggaccatga	actoggacco	tecagataca	60
			gcggttgact			120
			cgtgcgctgc			180
			gcgtgggcgt			240
			accgcggacc			300
			accggtgttc			360
			gcgaaacacg			420
			aaccacctga			480
			aacgttttcg			540
			ggtatcctgg			600
			accccgggtt			660
			ttcaaaggtg			720
Jacasses	-gaccccggc	2202ccc33c		Jooggegae	550000000	,20
atcaacatoo	caccaasaat	tacatacaat	ct.ggcggt++	aggat.ccaat	tacacatasc	780
			ctggcggttt ttcctgcgta			780 8 <b>4</b> 0

ctgatcctgg aataa

_	<210> 42 <211> 855 <212> ADN <213> Secuer	ncia artificial					
5	<220> <223> secuer	icia de ácido n	ucleico modific	ada (2) de la p	oroteína enzim	ática de SEC ID № 35	
	<400> 42						
	atgcagggct	tcggcgttca	cacctccatg	tggaccatga	actgggaccg	cccaggcgca	60
	gagcgcgcag	ttgcagcagc	agttaagtac	gcagttgact	tcatcgagat	cccaatgctg	120
10	aacccaccag	cagttgacac	cgcacacacc	cgcgcactgc	tggagaagaa	caagctgcgc	180
	gcagtttgct	ccctgggcct	gccagagcgc	gcatgggcat	ccgttcgccc	agacgcagca	240
	atcgagcacc	tgaaggttgc	aatcgacaag	accgcagacc	tgggcggcga	ggcactgtcc	300
	ggcgttatct	acggcggcat	cggcgagcgc	accggcgttc	caccaaccga	ggcagagtac	360
	gacaacatcg	cacgcgttct	gcaggcagca	gcaaagcacg	caaagacccg	cggcatcgag	420
	ctgggcgttg	aggcagttaa	ccgctacgag	aaccacctga	tcaacaccgg	ctggcaggca	480
	gttgacatga	tcaagcgcgt	tggcgcagac	aacgttttcg	ttcacctgga	cacctaccac	540
	atgaacatcg	aggagaaggg	catcggcacc	ggcatcctgg	acgcacgcga	cttcatcaag	600
	tacatccacc	tgtccgagtc	cgaccgcggc	accccaggct	acggcaactg	cgcatgggac	660
	gagatcttcg	caaccctggc	agcaatcggc	ttcaagggcg	gcctggcaat	ggagtccttc	720
	atcaacatgc	caccagaggt	tgcatacggc	ctggcagttt	ggcgcccagt	tgcacgcgac	780
	gaggaggagg	ttatgggcaa	ctccctgcca	ttcctgcgca	acaaggcacg	ccagtacggc	840
	ctgatcctgg	agtaa					855
15	<210> 43 <211> 873 <212> ADN <213> Secuer	ncia artificial					
20	<220> <223> secuen	ıcia de ácido n	ucleico modific	cada (1) de la p	oroteína enzim	ática de SEC ID Nº 36	

<400> 43						
atgaaaatga	aattcggtac	cctgtactct	tactggggta	ccaaatggca	gtgcgactac	60
ctgaaaaccc	tgaaacgtgt	ttctgacatc	ggtttcgaca	tcctggaaat	gggtgcgccg	120
cacctgctgg	aaatgtctga	ctacgaactg	tctgaactgc	gtcgtgcggc	gaaagacatg	180
gacatggttc	tgaccgcgaa	catcggtccg	gcgaaagaca	aagacctggc	gtctccggac	240
ccggacatcc	gtaaagcggg	tgttaactac	ctgatcgaca	tcctgaaagc	gatggaaaaa	300
gttggttcta	aatctctggt	tggtgcgatg	tactcttact	ggccgtgcca	gttcgaaatc	360
accgacaaag	aagcggcgtg	ggaacgttct	atcgaaggta	tgaaagaagt	tgcggaagcg	420
gcggaatctc	tgggtatcga	atgctgccag	gaagttctga	accgttacga	aacctacatc	480
atcaccgact	gccgtgaagg	tctggaatac	tgccgtcgtg	ttggttctga	aaacgttaac	540
ctgctgctgg	acaccttcca	catgaacatc	gaagaagaca	acatcccgga	agcgatccgt	600
ctggcgggtc	gtaaactggg	tcacctgcac	gttggtgaat	ctaaccgtaa	actgccgggt	660
atgggttctc	tgccgtggcg	tgacatcggt	cgtgcgctgc	gtgacatcgg	ttacgaaaaa	720
ggtgttgtta	tggaaccgtt	cctgctgcag	ggtggtgaag	ttgcgcgtga	ctgcaaagtt	780
tggcgtgacc	tgtctggtaa	cgcggacgaa	aaaatgctgg	accgttacat	caaagaatct	840
ctgaccttcc	tgaaacacga	attcaccttc	tga			873
<210> 44 <211> 873 <212> ADN <213> Secuer	ncia artificial					
<220> <223> secuen	icia de ácido n	ucleico modific	ada (2) de la p	oroteína enzima	ática de SEC ID Nº 36	
<223> secuen			, ,			60
<223> secuents	aatttggaac	attatattct	tattggggaa	caaaatggca	atgtgattat	60
<223> secuen <400> 44 atgaagatga ttgaaaacat	aatttggaac taaaacgagt	attatattct ttcagacatc	tattggggaa ggatttgaca	caaaatggca ttttggaaat	atgtgattat gggtgctcct	120
<223> secuents 400> 44 atgaagatga ttgaaaacat cacttgttgg	aatttggaac taaaacgagt aaatgtcaga	attatattct ttcagacatc ttatgaactt	tattggggaa ggatttgaca tcagaattga	caaaatggca ttttggaaat ggcgcgcggc	atgtgattat gggtgctcct gaaagatatg	120 180
<223> secuents 400> 44 atgaagatga ttgaaaacat cacttgttgg gatatggtat	aatttggaac taaaacgagt aaatgtcaga tgacggcaaa	attatattct ttcagacatc ttatgaactt tatcggaccg	tattggggaa ggatttgaca tcagaattga gcaaaagata	caaaatggca ttttggaaat ggcgcgcggc aagatcttgc	atgtgattat gggtgctcct gaaagatatg ttctcctgat	120 180 240
<223> secuents 400> 44 atgaagatga ttgaaaacat cacttgttgg gatatggtat ccggatatac	aatttggaac taaaacgagt aaatgtcaga tgacggcaaa gaaaagcggg	attatattct ttcagacatc ttatgaactt tatcggaccg agtaaactat	tattggggaa ggatttgaca tcagaattga gcaaaagata ttgatcgata	caaaatggca ttttggaaat ggcgcgcggc aagatcttgc tattaaaagc	atgtgattat gggtgctcct gaaagatatg ttctcctgat aatggaaaaa	120 180 240 300
<223> secuents 400> 44 atgaagatga ttgaaaacat cacttgttgg gatatggtat ccggatatac gtaggatcta	aatttggaac taaaacgagt aaatgtcaga tgacggcaaa gaaaagcggg aatcacttgt	attatattct ttcagacatc ttatgaactt tatcggaccg agtaaactat tggagcaatg	tattggggaa ggatttgaca tcagaattga gcaaaagata ttgatcgata tattcttatt	caaaatggca ttttggaaat ggcgcgcggc aagatcttgc tattaaaagc ggccgtgtca	atgtgattat gggtgctcct gaaagatatg ttctcctgat aatggaaaaa atttgaaata	120 180 240 300 360
<223> secuents <400> 44 atgaagatga ttgaaaacat cacttgttgg gatatggtat ccggatatac gtaggatcta acggataagg	aatttggaac taaaacgagt aaatgtcaga tgacggcaaa gaaaagcggg aatcacttgt aagctgcctg	attatattct ttcagacatc ttatgaactt tatcggaccg agtaaactat tggagcaatg ggagagaaga	tattggggaa ggatttgaca tcagaattga gcaaaagata ttgatcgata tattcttatt atcgagggga	caaaatggca ttttggaaat ggcgcgcggc aagatcttgc tattaaaagc ggccgtgtca tgaaagaggt	atgtgattat gggtgctcct gaaagatatg ttctcctgat aatggaaaaa atttgaaata tgcagaagct	120 180 240 300 360 420
<223> secuents <400> 44 atgaagatga ttgaaaacat cacttgttgg gatatggtat ccggatatac gtaggatcta acggataagg gcggaatcat	aatttggaac taaaacgagt aaatgtcaga tgacggcaaa gaaaagcggg aatcacttgt aagctgcctg tgggaatcga	attatattct ttcagacatc ttatgaactt tatcggaccg agtaaactat tggagcaatg ggagagaagc atgctgtcag	tattggggaa ggatttgaca tcagaattga gcaaaagata ttgatcgata tattcttatt atcgagggga gaagttttga	caaaatggca ttttggaaat ggcgcgcggc aagatcttgc tattaaaagc ggccgtgtca tgaaagaggt atcgatatga	atgtgattat gggtgctcct gaaagatatg ttctcctgat aatggaaaaa atttgaaata tgcagaagct aacttatatt	120 180 240 300 360 420 480
<223> secuents <400> 44 atgaagatga ttgaaaacat cacttgttgg gatatggtat ccggatatac gtaggatcta acggataagg gcggaatcat atcacagatt	aatttggaac taaaacgagt aaatgtcaga tgacggcaaa gaaaagcggg aatcacttgt aagctgcctg tgggaatcga gcagggaagg	attatattct ttcagacatc ttatgaactt tatcggaccg agtaaactat tggagcaatg ggagagaagc atgctgtcag attggaatac	tattggggaa ggatttgaca tcagaattga gcaaaagata ttgatcgata tattcttatt atcgagggga gaagttttga tgcaggagag	caaaatggca ttttggaaat ggcgcgcggc aagatcttgc tattaaaagc ggccgtgtca tgaaagaggt atcgatatga tcggaagtga	atgtgattat gggtgctcct gaaagatatg ttctcctgat aatggaaaaa atttgaaata tgcagaagct aacttatatt aaacgttaat	120 180 240 300 360 420 480 540
<223> secuents <400> 44 atgaagatga ttgaaaacat cacttgttgg gatatggtat ccggatatac gtaggatcta acggataagg gcggaatcat atcacagatt ctccttcttg	aatttggaac taaaacgagt aaatgtcaga tgacggcaaa gaaaagcggg aatcacttgt aagctgcctg tgggaatcga gcagggaagg atacatttca	attatattct ttcagacatc ttatgaactt tatcggaccg agtaaactat tggagcaatg ggagagaagc atgctgtcag attggaatac tatgaatatc	tattggggaa ggatttgaca tcagaattga gcaaaagata ttgatcgata tattcttatt atcgagggga gaagtttga tgcaggagag gaagaagata	caaaatggca ttttggaaat ggcgcgcggc aagatcttgc tattaaaagc ggccgtgtca tgaaagaggt atcgatatga tcggaagtga atattccgga	atgtgattat gggtgctcct gaaagatatg ttctcctgat aatggaaaaa atttgaaata tgcagaagct aacttatatt aaacgttaat ggctatccgg	120 180 240 300 360 420 480 540
<223> secuents <400> 44 atgaagatga ttgaaaacat cacttgttgg gatatggtat ccggatatac gtaggatcta acggataagg gcggaatcat atcacagatt ctccttcttg cttgcaggaa	aatttggaac taaaacgagt aaatgtcaga tgacggcaaa gaaaagcggg aatcacttgt aagctgcctg tgggaatcga gcagggaagg atacatttca gaaaattggg	attatattct ttcagacatc ttatgaactt tatcggaccg agtaaactat tggagcaatg ggagagaagc atgctgtcag attggaatac tatgaatatc ccatctgcat	tattggggaa ggatttgaca tcagaattga gcaaaagata ttgatcgata tattcttatt atcgagggga gaagttttga tgcaggagag gaagaagata gtgggagaat	caaaatggca ttttggaaat ggcgcgcggc aagatcttgc tattaaaagc ggccgtgtca tgaaagaggt atcgatatga tcggaagtga atattccgga caaacagaaa	atgtgattat gggtgctcct gaaagatatg ttctcctgat aatggaaaaa atttgaaata tgcagaagct aacttatatt aaacgttaat ggctatccgg gcttccggga	120 180 240 300 360 420 480 540 600
<223> secuent <400> 44 atgaagatga ttgaaaacat cacttgttgg gatatggtat ccggatatac gtaggatcta acggataagg gcggaatcat atcacagatt ctccttcttg cttgcaggaa atgggatccc	aatttggaac taaaacgagt aaatgtcaga tgacggcaaa gaaaagcggg aatcacttgt aagctgcctg tgggaatcga gcagggaagg atacatttca gaaaattggg ttccttggag	attatattct ttcagacatc ttatgaactt tatcggaccg agtaaactat tggagcaatg ggagagaagc atgctgtcag attggaatac tatgaatatc ccatctgcat agatatcgga	tattggggaa ggatttgaca tcagaattga gcaaaagata ttgatcgata tattcttatt atcgagggga gaagttttga tgcaggagag gaagaagata gtgggagaat cgggcgctaa	caaaatggca ttttggaaat ggcgcgcggc aagatcttgc tattaaaagc ggccgtgtca tgaaagaggt atcgatatga tcggaagtga atattccgga caaacagaaa gagatatcgg	atgtgattat gggtgctcct gaaagatatg ttctcctgat aatggaaaaa atttgaaata tgcagaagct aacttatatt aaacgttaat ggctatccgg gcttccggga atatgagaaa	120 180 240 300 360 420 540 600 660 720
<223> secuent <400> 44 atgaagatga ttgaaaacat cacttgttgg gatatggtat ccggatatac gtaggatcta acggataagg gcggaatcat atcacagatt ctccttcttg cttgcaggaa atgggatccc ggcgtcgtta	aatttggaac taaaacgagt aaatgtcaga tgacggcaaa gaaaagcggg aatcacttgt aagctgcctg tgggaatcga gcagggaagg atacatttca gaaaattggg ttccttggag tggaaccgt	attatattct ttcagacatc ttatgaactt tatcggaccg agtaaactat tggagcaatg ggagagaagc atgctgtcag attggaatac tatgaatatc ccatctgcat agatatcgga tcttcttcaa	tattggggaa ggatttgaca tcagaattga gcaaaagata ttgatcgata tattcttatt atcgagggga gaagttttga tgcaggagag gaagaagata gtgggagaat cgggcgctaa ggaggagag	caaaatggca ttttggaaat ggcgcgcggc aagatcttgc tattaaaagc ggccgtgtca tgaaagaggt atcgatatga tcggaagtga atattccgga caaacagaaa gagatatcgg tcgctcggga	atgtgattat gggtgctcct gaaagatatg ttctcctgat aatggaaaaa atttgaaata tgcagaagct aacttatatt aaacgttaat ggctatccgg gcttccggga atatgagaaa ctgtaaagtg	120 180 240 300 360 420 480 540 600 720 780
<223> secuent <400> 44 atgaagatga ttgaaaacat cacttgttgg gatatggtat ccggatatac gtaggatcta acggataagg gcggaatcat atcacagatt ctccttcttg cttgcaggaa atgggatccc ggcgtcgtta tggagagatt	aatttggaac taaaacgagt aaatgtcaga tgacggcaaa gaaaagcggg aatcacttgt aagctgcctg tgggaatcga gcagggaagg atacatttca gaaaattggg ttccttggag	attatattct ttcagacatc ttatgaactt tatcggaccg agtaaactat tggagcaatg ggagagaagc atgctgtcag attggaatac tatgaatatc ccatctgcat agatatcgga tcttcttcaa tgcagatgag	tattggggaa ggatttgaca tcagaattga gcaaaagata ttgatcgata tattcttatt atcgagggga gaagttttga tgcaggagag gaagaagata gtgggagaat cgggcgctaa ggaggagagg aaaatgctgg	caaaatggca ttttggaaat ggcgcgcggc aagatcttgc tattaaaagc ggccgtgtca tgaaagaggt atcgatatga tcggaagtga atattccgga caaacagaaa gagatatcgg tcgctcggga	atgtgattat gggtgctcct gaaagatatg ttctcctgat aatggaaaaa atttgaaata tgcagaagct aacttatatt aaacgttaat ggctatccgg gcttccggga atatgagaaa ctgtaaagtg	120 180 240 300 360 420 540 600 660 720

```
<210> 45
      <211>48
      <212> ADN
      <213> Secuencia artificial
 5
      <220>
      <223> RBS1_F
      <400> 45
10
      ggtgcggaaa cctacgaaag gannttttac ccatggctgt atacgaac
                                                              48
      <211>48
      <212> ADN
15
      <213> Secuencia artificial
      <220>
      <223> RBS1 R
      <400> 46
20
      gttcgtatac agccatgggt aaaanntcct ttcgtaggtt tccgcacc
                                                            48
      <210> 47
      <211> 50
25
      <212> ADN
      <213> Secuencia artificial
      <220>
      <223> RBS2_F
30
      <400> 47
                                                                  50
      gactacgcat acgacgaaag gannacaaaa tgaaacacgg tatctactac
      <210>48
35
      <211> 50
      <212> ADN
      <213> Secuencia artificial
      <220>
40
      <223> RBS2_R
      <400> 48
      gtagtagata ccgtgtttca ttttgtnntc ctttcgtcgt atgcgtagtc
                                                          50
      <210>49
45
      <211>48
      <212> ADN
      <213> Secuencia artificial
      <220>
50
      <223> RBS1GT_F
      ggtgcggaaa cctacgaaag gagtttttac ccatggctgt atacgaac
                                                              48
55
      <210> 50
      <211>48
      <212> ADN
      <213> Secuencia artificial
60
      <220>
      <223> RBS1GT_R
      <400> 50
65
                                                            48
      gttcgtatac agccatgggt aaaaactcct ttcgtaggtt tccgcacc
```

```
<210> 51
      <211>48
      <212> ADN
      <213> Secuencia artificial
 5
      <220>
      <223> RBS1GC_F
      <400> 51
10
      ggtgcggaaa cctacgaaag gagcttttac ccatggctgt atacgaac
                                                              48
      <211> 48
      <212> ADN
15
      <213> Secuencia artificial
      <220>
      <223> RBS1GC R
20
      <400> 52
      gttcgtatac agccatgggt aaaagctcct ttcgtaggtt tccgcacc
                                                           48
      <210> 53
      <211> 48
25
      <212> ADN
      <213> Secuencia artificial
      <220>
      <223> RBS1GG_F
30
      <400> 53
      ggtgcggaaa cctacgaaag gaggttttac ccatggctgt atacgaac
                                                              48
      <210> 54
35
      <211> 48
      <212> ADN
      <213> Secuencia artificial
      <220>
40
      <223> RBS1GG_R
      <400> 54
      gttcgtatac agccatgggt aaaacctcct ttcgtaggtt tccgcacc
                                                           48
45
      <210> 55
      <211> 50
      <212> ADN
      <213> Secuencia artificial
50
      <220>
      <223> RBS1GA/RBS2GA_F
      gactacgcat acgacgaaag gagaacaaaa tgaaacacgg tatctactac
                                                                  50
55
      <210> 56
      <211> 50
      <212> ADN
      <213> Secuencia artificial
60
      <220>
      <223> RBS1GA/RBS2GA_R
      <400> 56
                                                          50
65
      gtagtagata ccgtgtttca ttttgttctc ctttcgtcgt atgcgtagtc
```

```
<210> 57
      <211> 50
      <212> ADN
      <213> Secuencia artificial
 5
      <223> RBS1GA/RBS2GT_F
      <400> 57
10
      gactacgcat acgacgaaag gagtacaaaa tgaaacacgg tatctactac
                                                                 50
      <211> 50
      <212> ADN
15
      <213> Secuencia artificial
      <220>
      <223> RBS1GA/RBS2GT R
20
      <400> 58
      gtagtagata ccgtgtttca ttttgtactc ctttcgtcgt atgcgtagtc
                                                          50
      <210> 59
      <211> 50
25
      <212> ADN
      <213> Secuencia artificial
      <220>
      <223> RBS1GA/RBS2GC_F
30
      <400>59
      gactacgcat acgacgaaag gagcacaaaa tgaaacacgg tatctactac
                                                                 50
      <210>60
35
      <211> 50
      <212> ADN
      <213> Secuencia artificial
      <220>
40
      <223> RBS1GA/RBS2GC_R
      <400>60
      gtagtagata ccgtgtttca ttttgtgctc ctttcgtcgt atgcgtagtc
                                                          50
45
      <210>61
      <211> 50
      <212> ADN
      <213> Secuencia artificial
50
      <220>
      <223> RBS1GA/RBS2GG_F
      gactacgcat acgacgaaag gaggacaaaa tgaaacacgg tatctactac
                                                                  50
55
      <210> 62
      <211> 50
      <212> ADN
      <213> Secuencia artificial
60
      <220>
      <223> RBS1GA/RBS2GG_R
      <400>62
                                                          50
65
      gtagtagata ccgtgtttca ttttgtcctc ctttcgtcgt atgcgtagtc
```

5	<210> 63 <211> 29 <212> ADN <213> Secuencia artificial	
3	<220> <223> promotor tac1 (1)	
10	<400> 63 tgacaattaa tcatcggctc gtataatgt 29	
15	<210> 64 <211> 30 <212> ADN <213> Secuencia artificial	
	<220> <223> promotor tac2 (1)	
20	<400> 64 tgacaattaa tcatccggct cgtataatgt 30	
25	<210> 65 <211> 29 <212> ADN <213> Secuencia artificial	
30	<220> <223> promotor trc (1)	
30	<400> 65 tgacaattaa tcatcggctc gtataatgt 29	
35	<210> 66 <211> 50 <212> ADN <213> Secuencia artificial	
40	<220> <223> segundo conector	
	<400> 66 gtggaattgt gagcggataa caatttcaca caggaaacag aattcccggg 50	
45	<210> 67 <211> 68 <212> ADN <213> Secuencia artificial	
50	<220> <223> tercer conector	
	<400> 67 taacaatttg tggaattgtg agcggacaca caggaaacag accatggaat tcgagctcgg	60
55	tacccggg	68
55	<210> 68 <211> 48 <212> ADN <213> Secuencia artificial	
60	<220> <223> cuarto conector	

	<400> 68 gtggaattgt gagcggataa caatttcaca caggaaacag acccatgg 48	
5	<210> 69 <211> 36 <212> ADN <213> Secuencia artificial	
10	<220> <223> Tacl/RBS	
	<400> 69 tgacaattaa tcatcggctc gtataatgtg aaagga 36	
15	<210> 70 <211> 86 <212> ADN <213> Secuencia artificial	
20	<220> <223> Tacl/conector/RBS	
	<400> 70 tgacaattaa tcatcggctc gtataatgtg tggaattgtg agcggataac aatttcacac	60
0.5	aggaaacaga attcccgggg aaagga	86
25	<210> 71 <211> 93 <212> ADN <213> Secuencia artificial	
30	<220> <223> Tacl/conector/RBS/espaciador	
	<400> 71 tgacaattaa tcatcggctc gtataatgtg tggaattgtg agcggataac aatttcacac	60
35	aggaaacaga attcccgggg aaaggagaac aaa	93
40	<210> 72 <211> 37 <212> ADN <213> Secuencia artificial	
	<220> <223> Tac2/RBS	
45	<400> 72 tgacaattaa tcatccggct cgtataatgt gaaagga 37	
50	<210> 73 <211> 87 <212> ADN <213> Secuencia artificial	
	<220> <223> Tac2/conector/RBS	
55	<400> 73 tgacaattaa tcatccggct cgtataatgt gtggaattgt gagcggataa caatttcaca	60
	caggaaacag aattcccggg gaaagga	87
60	<210> 74 <211> 94	

	<212> ADN <213> Secuencia artificial	
5	<220> <223> Tac2/conector/RBS/espaciador	
	<400> 74 tgacaattaa tcatccggct cgtataatgt gtggaattgt gagcggataa caatttcaca	60
	caggaaacag aattcccggg gaaaggagaa caaa	94
10	<210> 75 <211> 77 <212> ADN <213> Secuencia artificial	
15	<220> <223> Trc/conector	
	<400> 75 tgacaattaa tcatcggctc gtataatgtg tggaattgtg agcggataac aatttcacac	60
20	aggaaacaga cccatgg	77

#### REIVINDICACIONES

- 1. Casete de expresión génica, que produce una psicosa epimerasa en Corynebacterium sp., y que comprende:
- una secuencia de nucleótidos que codifica la psicosa epimerasa; y una secuencia reguladora que está conectada funcionalmente con la secuencia de nucleótidos en dirección 5' y que regula la expresión de la secuencia de nucleótidos en *Corynebacterium* sp.,
- en el que la secuencia reguladora comprende un promotor que incluye una secuencia de nucleótidos de SEC ID nº 1, una secuencia de primer sitio de unión de ribosoma (RBS) que incluye una secuencia de nucleótidos de SEC ID nº 2, y un primer espaciador que se selecciona de entre el grupo que consiste en las secuencias de nucleótidos de SEC ID nº 4 a SEC ID nº 6.
- Casete de expresión génica según la reivindicación 1, en el que la secuencia reguladora comprende además una secuencia de segundo RBS que está conectada con el extremo 3' del primer espaciador directamente o mediante una secuencia de conector y que incluye una secuencia de nucleótidos de SEC ID nº 2.
  - 3. Casete de expresión génica según la reivindicación 2, en el que la secuencia de primer espaciador incluye la secuencia de nucleótidos de SEC ID nº 4, y en el que la secuencia reguladora comprende además una secuencia de segundo espaciador seleccionada de entre el grupo de las secuencias de nucleótidos de SEC ID nº 7 a SEC ID nº 11
  - 4. Casete de expresión génica según la reivindicación 1, en el que la secuencia reguladora comprende una secuencia de nucleótidos seleccionada de entre el grupo que consiste en las secuencias de SEC ID nº 14 a SEC ID nº 16.
    - 5. Casete de expresión génica según cualquiera de las reivindicaciones 2 a 4, en el que el conector comprende una secuencia de nucleótidos de SEC ID nº 12.
- 30 6. Casete de expresión génica según la reivindicación 3, en el que la secuencia reguladora comprende:

la secuencia de nucleótidos de promotor de SEC ID nº 1,

la secuencia de nucleótidos de RBS de SEC ID nº 2,

20

25

35

50

la secuencia de primer espaciador de SEC ID nº 4,

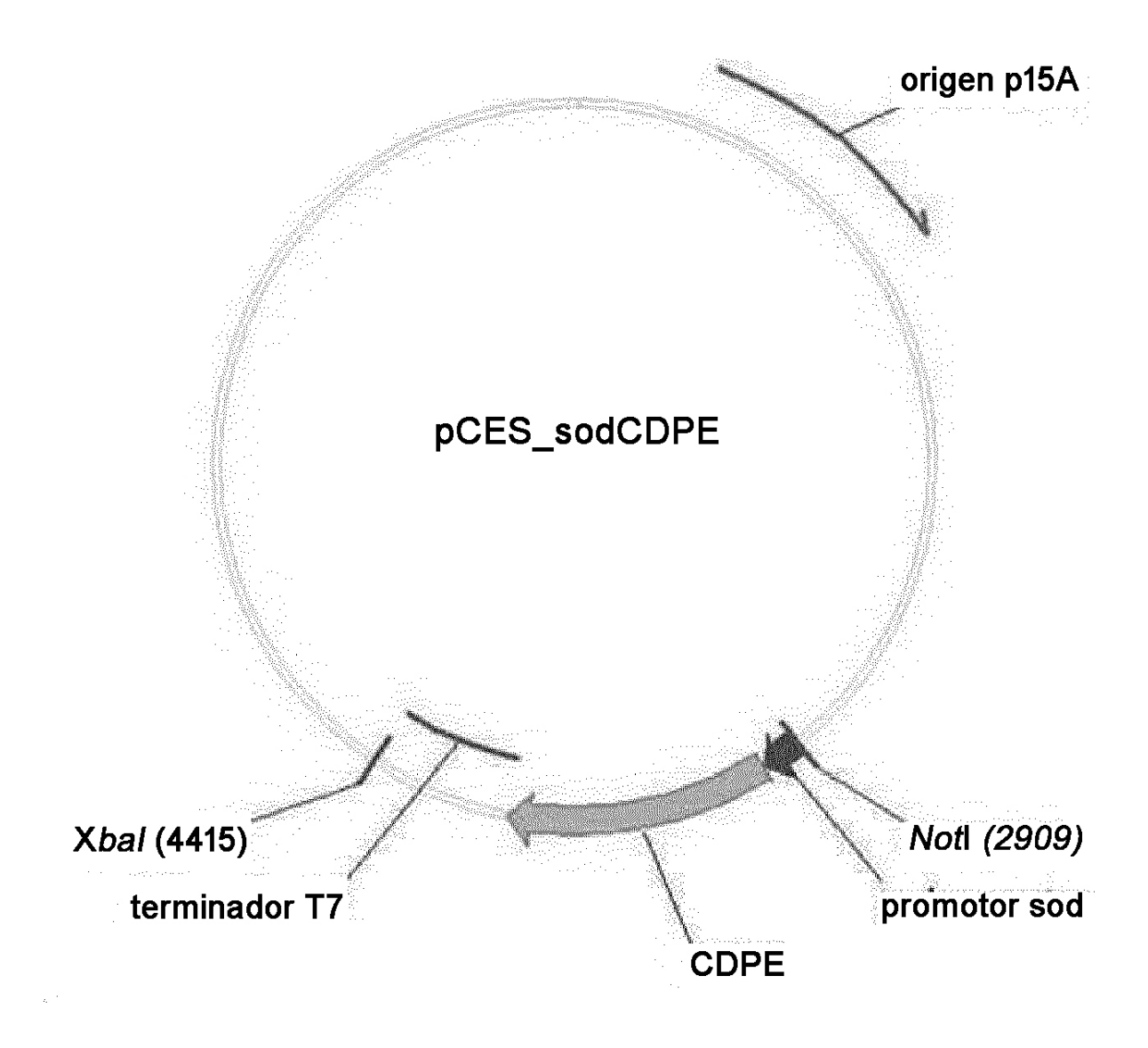
la secuencia de nucleótidos de RBS de SEC ID nº 2, y

- 40 la secuencia de segundo espaciador seleccionada de entre el grupo que consiste en las secuencias de SEC ID nº 7 a SEC ID nº 11.
- 7. Casete de expresión génica según la reivindicación 1, en el que la Corynebacterium sp. es por lo menos una seleccionada de entre el grupo que consiste en Corynebacterium glutamicum, Corynebacterium acetoglutamicum, Corynebacterium acetoacidophilum, Corynebacterium thermoaminogenes, Corynebacterium melassecola y Corynebacterium efficiens.
  - 8. Casete de expresión génica según la reivindicación 1, en el que la psicosa epimerasa deriva de *Clostridiun scidens, Treponema primitia, Ensifer adhaerens* o *Ruminococcus torques*.
  - 9. Casete de expresión génica según la reivindicación 8, en el que la psicosa epimerasa es una secuencia de aminoácidos seleccionada de entre el grupo que consiste en los nucleótidos de SEC ID nº 33 a SEC ID nº 36.
- 10. Casete de expresión génica según la reivindicación 9, en el que la secuencia de nucleótidos que codifica la psicosa epimerasa es una secuencia de nucleótidos seleccionada de entre el grupo que consiste en los nucleótidos de SEC ID nº 37 a SEC ID nº 44.
  - 11. Vector que comprende un casete de expresión según cualquiera de las reivindicaciones 1 a 10.
- 60 12. Célula hospedadora de *Corynebacterium* sp. recombinante que comprende un casete de expresión génica según cualquiera de las reivindicaciones 1 a 10, o que es transformada por un vector que comprende un casete de expresión génica según cualquiera de las reivindicaciones 1 a 10.
- 13. Utilización de una composición que comprende por lo menos uno seleccionado de entre el grupo que consiste en una célula de *Corynebacterium* sp. recombinante, un cultivo de la célula de *Corynebacterium* sp. recombinante, un lisado de la célula de *Corynebacterium* sp. recombinante y un extracto de dicho cultivo celular o dicho lisado

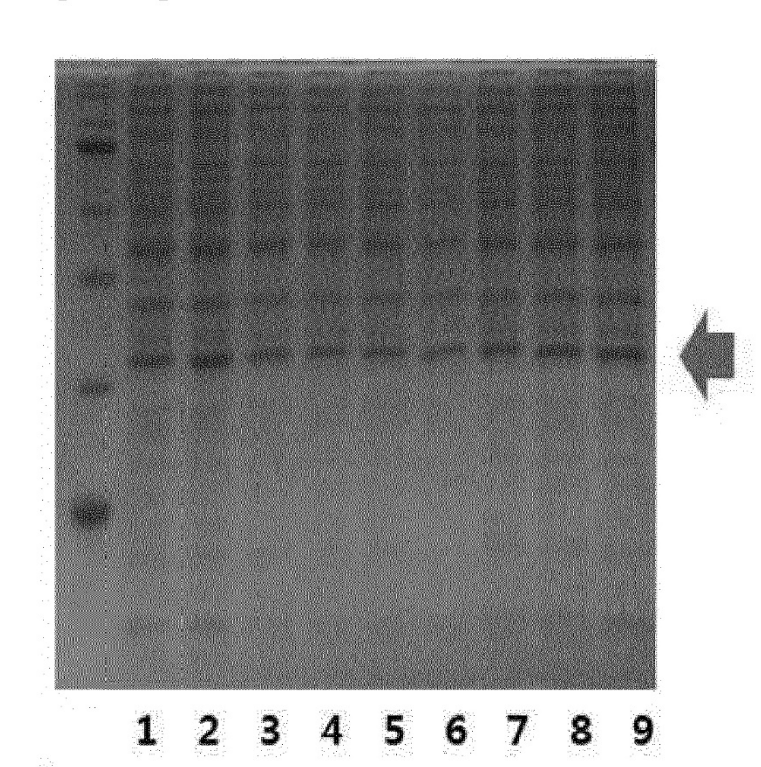
celular, en la que la célula de *Corynebacterium* sp. recombinante incluye un casete de expresión génica según cualquiera de las reivindicaciones 1 a 10 o un vector según la reivindicación 11 para producir una psicosa epimerasa y/o psicosa.

- 5 14. Método para producir una psicosa, que comprende:
  - cultivar una célula de *Corynebacterium* sp. recombinante transformada por un vector que comprende un casete de expresión génica según cualquiera de las reivindicaciones 1 a 10, y
- hacer reaccionar un sustrato que contiene fructosa con por lo menos uno seleccionado de entre el grupo que consiste en una psicosa epimerasa obtenida del cultivo de *Corynebacterium* sp. recombinante, una célula recombinante, un cultivo de la célula recombinante, un lisado de la célula recombinante y un extracto de cultivo celular o el lisado celular.
- 15. Método según la reivindicación 14, en el que el método se lleva a cabo bajo la condición de pH 6 a 9 y temperatura de 40 a 80°C.

[FIG. 1]



[FIG. 2]



Carril 1 control (sodCDPE)

Carril 2 R1GA

Carril 3 R1GT

Carril 4 R1GC

Carril 5 R1GG

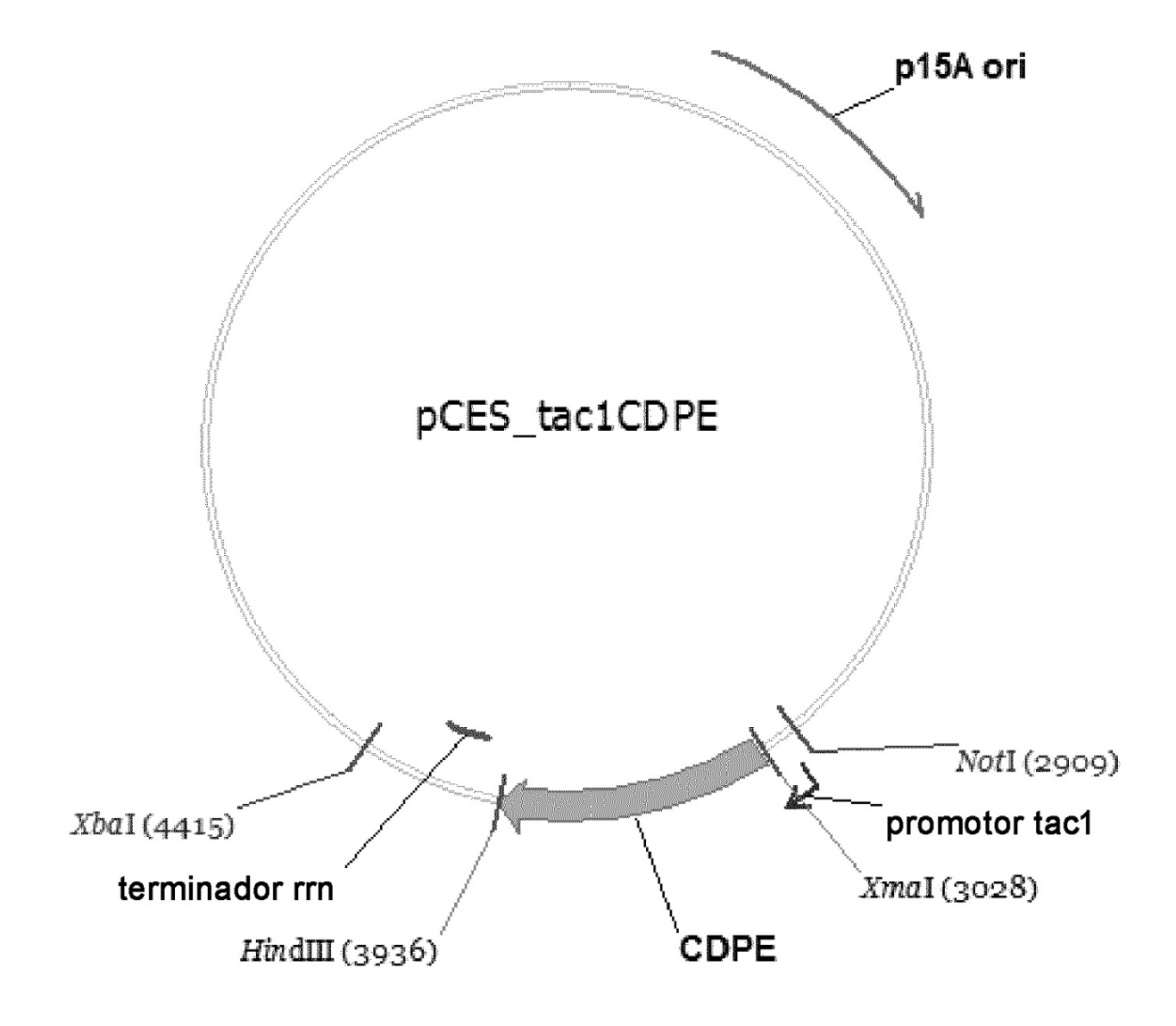
Carril 6 R1GA/R2GA

Carril 7 R1GA/R1GT

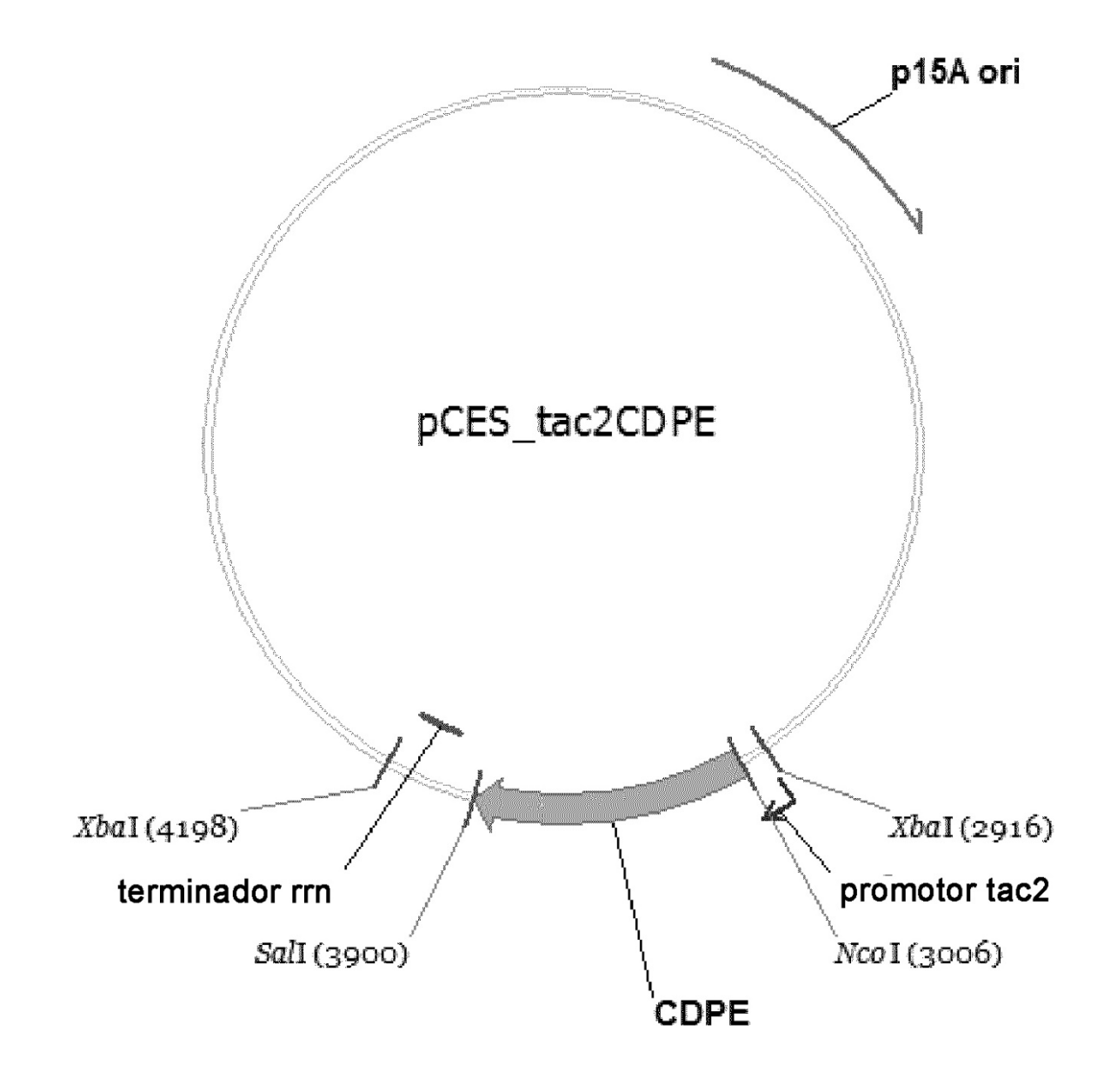
Carril 8 R1GA/R1GC

Carril 9 R1GA/R1GG

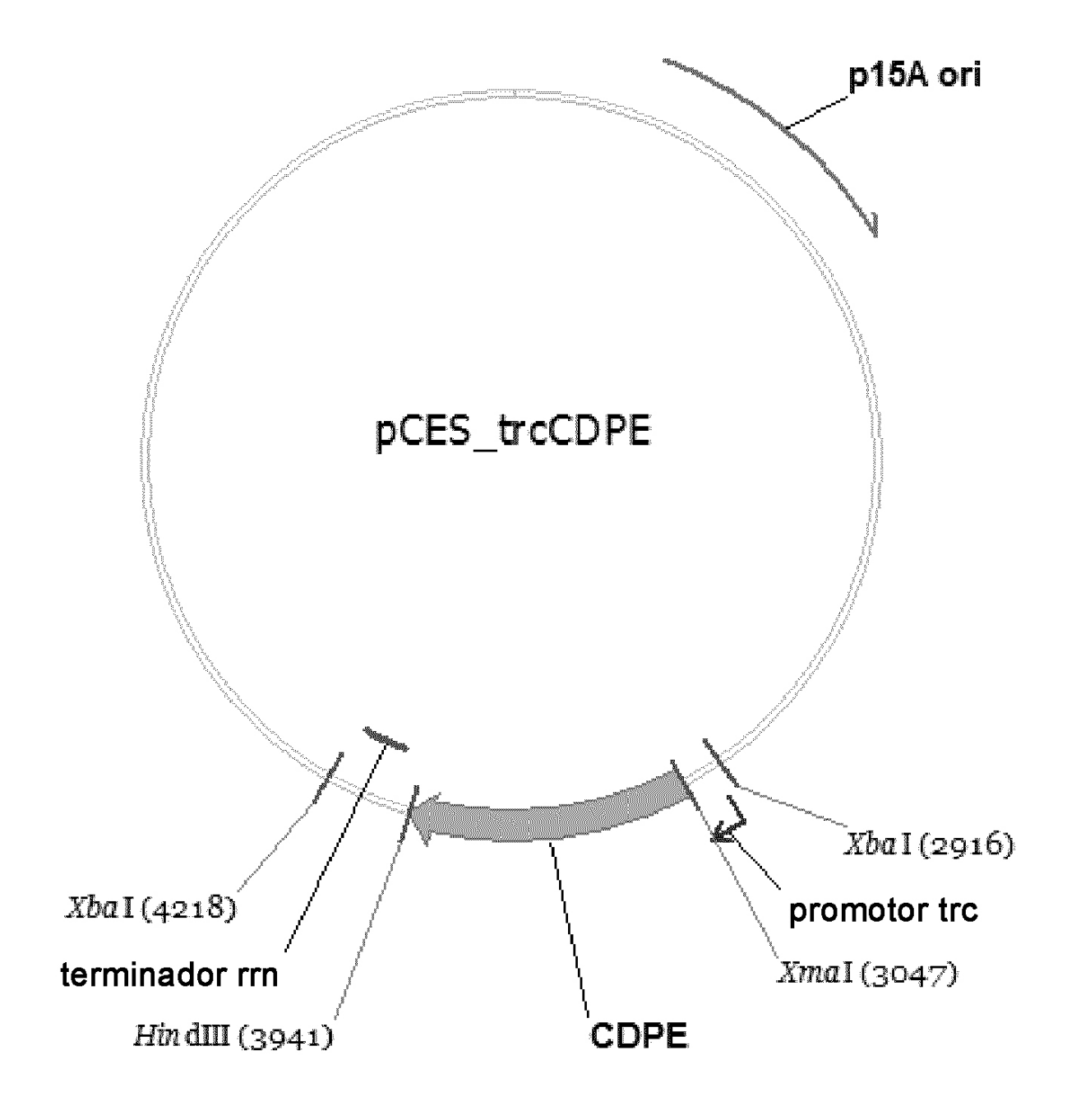
[FIG. 3]



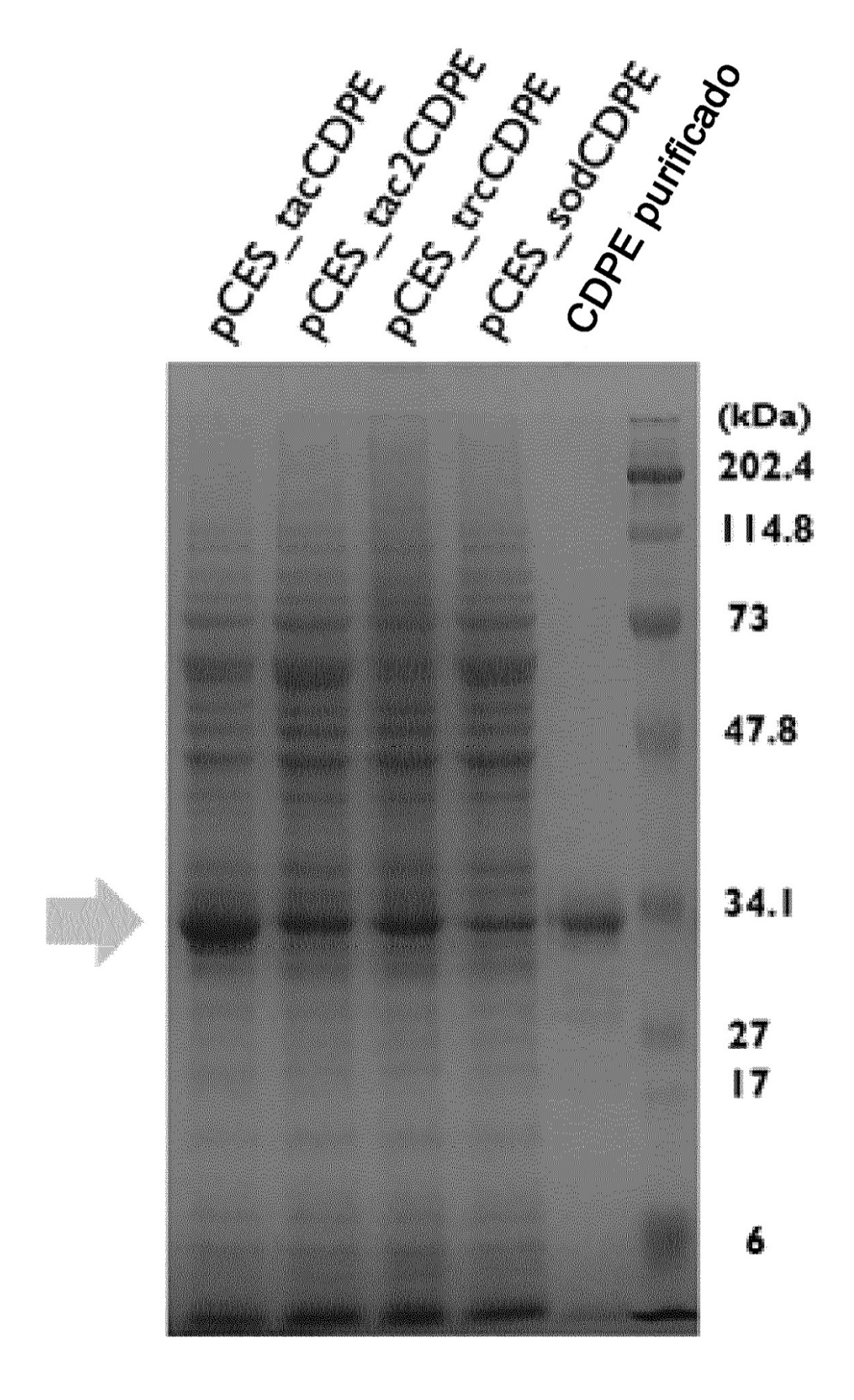
[FIG. 4]



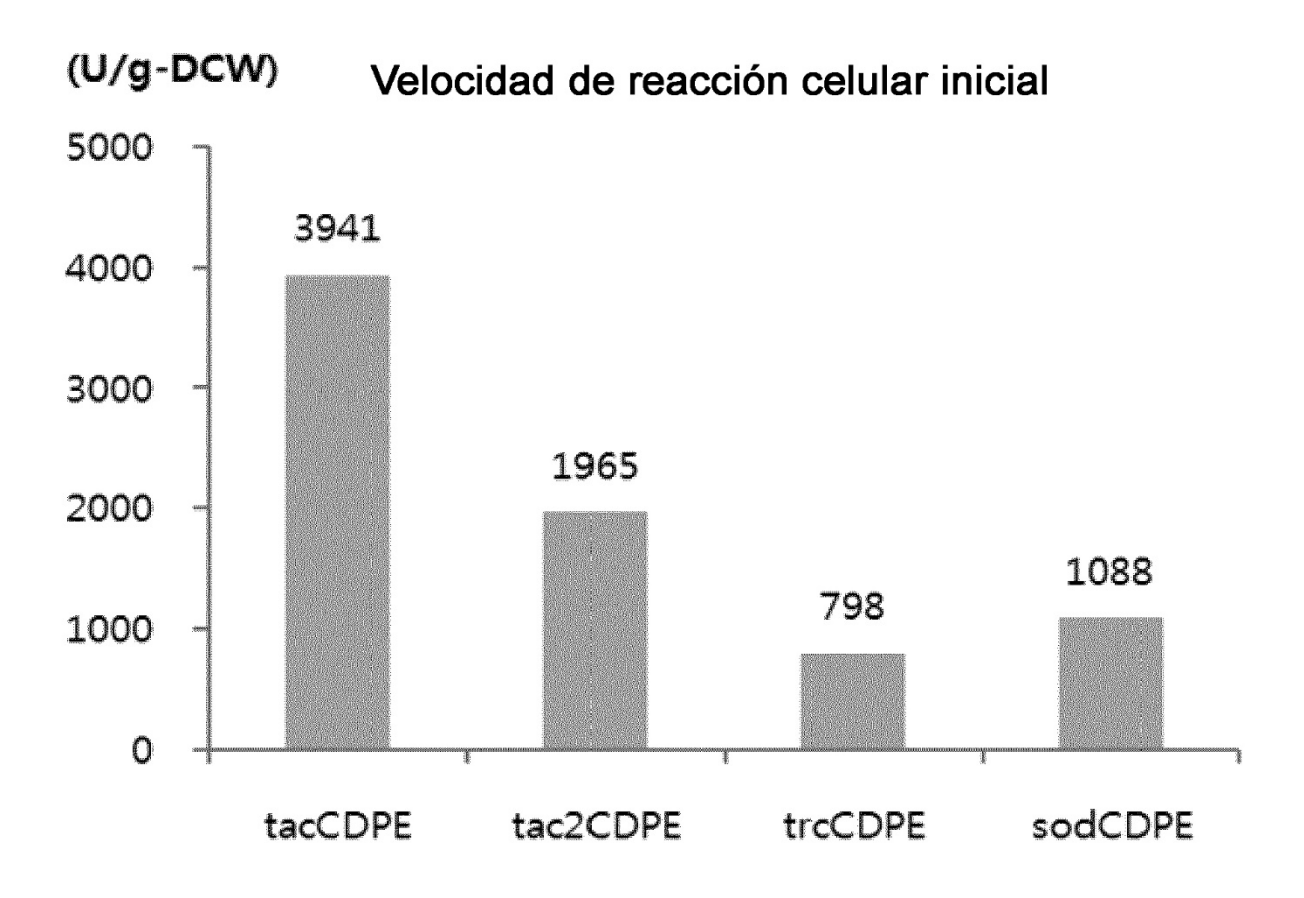
[FIG. 5]



# [FIG. 6]



[FIG. 7]



[FIG. 8]

